

การตรวจหาดีเอ็นเอเพศชายจากตัวอย่างน้ำซึบช่องคลอด
โดยเทคนิคลูปมีดิเอเตดไอโซเทอร์มอลแอมพลิฟิเคชัน



วิทยานิพนธ์นี้เป็นส่วนหนึ่งของการศึกษาตามหลักสูตรปริญญาวิทยาศาสตรมหาบัณฑิต
สาขาวิชาพันธุศาสตร์ ภาควิชาพฤกษศาสตร์
คณะวิทยาศาสตร์ จุฬาลงกรณ์มหาวิทยาลัย
ปีการศึกษา 2564
ลิขสิทธิ์ของจุฬาลงกรณ์มหาวิทยาลัย

Detection of male DNA from vaginal swabs by loop-mediated isothermal
amplification



A Thesis Submitted in Partial Fulfillment of the Requirements
for the Degree of Master of Science in Genetics

Department of Botany

FACULTY OF SCIENCE

Chulalongkorn University

Academic Year 2021

Copyright of Chulalongkorn University

หัวข้อวิทยานิพนธ์	การตรวจหาดีเอ็นเอเพศชายจากตัวอย่างน้ำซบช่องคลอด
โดย	โดยเทคนิคลูปมีดีเอเตดไอโซเทอร์มอลแอมพลิฟิเคชัน
สาขาวิชา	น.ส.สุนิตา ชุณหะกุล
อาจารย์ที่ปรึกษาวิทยานิพนธ์หลัก	พันธุศาสตร์
อาจารย์ที่ปรึกษาวิทยานิพนธ์ร่วม	รองศาสตราจารย์ ดร.รัชนีกร ธรรมโชติ
	รองศาสตราจารย์ นายแพทย์กรเกียรติ วงศ์ไพศาลสิน

คณะวิทยาศาสตร์ จุฬาลงกรณ์มหาวิทยาลัย อนุมัติให้หัวข้อวิทยานิพนธ์ฉบับนี้เป็นส่วนหนึ่งของการศึกษาตามหลักสูตรปริญญาวิทยาศาสตรมหาบัณฑิต

.....	คณบดีคณะวิทยาศาสตร์
(ศาสตราจารย์ ดร.พลกฤษณ์ แสงวณิช)	
คณะกรรมการสอบวิทยานิพนธ์	ประธานกรรมการ
.....	(รองศาสตราจารย์ ดร.สีหนาท ประสงค์สุข)
.....	อาจารย์ที่ปรึกษาวิทยานิพนธ์หลัก
(รองศาสตราจารย์ ดร.รัชนีกร ธรรมโชติ)	
..... จุฬาลงกรณ์มหาวิทยาลัย	อาจารย์ที่ปรึกษาวิทยานิพนธ์ร่วม
(รองศาสตราจารย์ นายแพทย์กรเกียรติ วงศ์ไพศาลสิน)	
.....	กรรมการ
(รองศาสตราจารย์ ดร.ปฐมวดี ญาณทัศน์นีย์จิต)	
.....	กรรมการภายนอกมหาวิทยาลัย
(รองศาสตราจารย์ ดร.บุษบา ฤกษ์อำนาจโชค)	

สุนิตา ชุณห์กุล : การตรวจหาดีเอ็นเอเพศชายจากตัวอย่างน้ำซับช่องคลอด โดยเทคนิคลูปมีดีเอเตดไอโซเทอร์มอลแอมพลิฟิเคชัน. (Detection of male DNA from vaginal swabs by loop-mediated isothermal amplification) อ.ที่ปรึกษาหลัก : รศ. ดร.รัชนิกร ธรรมโชติ, อ.ที่ปรึกษาร่วม : รศ. นพ.กรเกียรติ วงศ์ไพศาลสิน

คดีข่มขืนกระทำชำเราเป็นคดีอาญาที่เกิดขึ้นเป็นอันดับต้น ๆ ในประเทศไทย การตรวจสอบหลักฐานในตัวอย่างสิ่งส่งตรวจคดีข่มขืนกระทำชำเราทางนิติวิทยาศาสตร์ต้องผ่านการตรวจสอบทางห้องปฏิบัติการ โดยในปัจจุบันใช้วิธีการตรวจคัดกรอง (screening test) ด้วยเอนไซม์แอสิดฟอสฟาเตส และการตรวจสอบยืนยัน (confirmatory test) ด้วยการส่องกล้องจุลทรรศน์หาอสุจิ ซึ่งทั้ง 2 วิธีมีความจำเพาะและความไวสูง แต่มีข้อจำกัดและโอกาสในการเกิดผลบวกหรือผลลบเทียมได้ เพื่อเพิ่มความสามารถและลดข้อผิดพลาดจากการตรวจ การศึกษานี้มีวัตถุประสงค์เพื่อตรวจหาดีเอ็นเอเพศชายจากตัวอย่างน้ำซับช่องคลอดโดยเทคนิคลูปมีดีเอเตดไอโซเทอร์มอลแอมพลิฟิเคชัน (LAMP) ที่มีความไวสูง และสามารถทำซ้ำแล้วให้ผลตรงกัน โดยออกแบบไพรเมอร์ที่จำเพาะกับยีนอเมโลจินินวายเพื่อใช้ในการตรวจหาดีเอ็นเอเพศชายจากตัวอย่างน้ำซับช่องคลอดด้วยเทคนิค LAMP ผลการศึกษาพบว่าเทคนิค LAMP มีความไวสูงในการตรวจหาดีเอ็นเอเพศชายปริมาณตั้งแต่ 0.1 นาโนกรัมขึ้นไป ความจำเพาะในการตรวจสอบต่อดีเอ็นเอเป้าหมายสูงโดยแสดงผลบวกในกรณีที่ตรวจพบดีเอ็นเอมนุษย์เพศชายเท่านั้น ซึ่งไม่มีการแสดงผลในดีเอ็นเอมนุษย์เพศหญิง และดีเอ็นเอสัตว์ (หนูเม้าส์ หนูแรท และหมู) นอกจากนี้ ผลจากการตรวจสอบตัวอย่างในคดีข่มขืนที่เกิดขึ้นจริงในประเทศไทยจำนวน 92 ตัวอย่าง แสดงให้เห็นว่าเทคนิค LAMP มีความแม่นยำในการตรวจสอบสูงถึงร้อยละ 96.7 ซึ่งแม่นยำกว่าการตรวจสอบด้วยชุดน้ำยาแอสิดฟอสฟาเตสและการตรวจหาอสุจิด้วยกล้องจุลทรรศน์ที่มีความถูกต้องในการตรวจสอบร้อยละ 57.6 และ 79.3 ตามลำดับ และสามารถใช้สารสีฟีนอลเรดในการตรวจสอบการเกิดปฏิกิริยาของเทคนิค LAMP จากผลการศึกษาแสดงให้เห็นว่าเทคนิค LAMP สามารถใช้เป็นวิธีทางเลือกในการตรวจสอบเบื้องต้นสำหรับคดีข่มขืนได้

สาขาวิชา พันธุศาสตร์
ปีการศึกษา 2564

ลายมือชื่อนิสิต
ลายมือชื่อ อ.ที่ปรึกษาหลัก
ลายมือชื่อ อ.ที่ปรึกษาร่วม

6270111423 : MAJOR GENETICS

KEYWORD: Sexual assault, LAMP technique, amelogenin-Y gene

Sunita Chunkul : Detection of male DNA from vaginal swabs by loop-mediated isothermal amplification. Advisor: Assoc. Prof. Rachaneekorn Tammachote, Ph.D. Co-advisor: Assoc. Prof. Kornkiat Vongpaisarnsin, M.D.

Sexual assault is one of the top crimes in Thailand. The examination of rape case specimens take place in laboratory. Currently, the examination begins with acid phosphatase test as a screening test and then confirmed by microscopic examination as a confirmatory test. Both methods were high sensitivity and specificity but the limitations were the likelihood of generating false positive or false negative results. Therefore, to improve the examination of rape case specimens, the objective of this study is to detect male DNA from vaginal fluid samples by Loop-mediated isothermal amplification, which is highly sensitive and reproducible. The primers were designed to be specific to the amelogenin-Y gene and used for detecting male DNA by the LAMP technique. The results showed that the LAMP technique was highly sensitive in detecting male DNA above 0.1 ng with a high specificity to target DNA, it showed positive results only in human male DNA sample but not in human female DNA or animal DNA (mouse, rat, and pig). In addition, when used in rape case samples in Thailand, the results showed that the LAMP technique had a high assay accuracy of 96.7%, which was higher than the acid phosphatase test and microscopic test that had accuracy of 57.6% and 79.3%, respectively and phenol red dye can be used to detect LAMP reaction with naked eyes. The results from this study indicated that the LAMP technique can be used as an alternative method for presumptive test in rape cases.

Field of Study: Genetics

Student's Signature

Academic Year: 2021

Advisor's Signature

Co-advisor's Signature

กิตติกรรมประกาศ

ขอขอบพระคุณ รองศาสตราจารย์ ดร.รัชนีกร ธรรมโชติ อาจารย์ที่ปรึกษาหลัก และรองศาสตราจารย์ นพ.กรเกียรติ วงศ์ไพศาลสิน อาจารย์ที่ปรึกษาร่วม ที่ได้ให้คำปรึกษาและช่วยเหลือให้ งานวิจัยครั้งนี้สำเร็จลุล่วงไปได้ด้วยดี

ขอขอบพระคุณ รองศาสตราจารย์ ดร.สีหนาท ประสงค์สุข ที่กรุณาให้เกียรติเป็นประธาน รองศาสตราจารย์ ดร.ปฐมวดี ญาณทัศนีย์จิต และรองศาสตราจารย์ ดร.บุษบา ฤกษ์อำนาจโชค ที่กรุณาให้เกียรติเป็นกรรมการในการสอบวิทยานิพนธ์ ตรวจสอบ และแก้ไขวิทยานิพนธ์ฉบับนี้ให้ ถูกต้องสมบูรณ์

ขอขอบพระคุณ ผู้ช่วยศาสตราจารย์ประภาพร กาวิชา คณะทรัพยากรธรรมชาติและอุตสาหกรรมเกษตร มหาวิทยาลัยเกษตรศาสตร์ วิทยาเขตเฉลิมพระเกียรติ จังหวัดสกลนคร ที่กรุณาให้ความช่วยเหลือ คำแนะนำ และสอนเทคนิคต่าง ๆ ในระหว่างดำเนินงานวิจัย

ขอขอบพระคุณ เจ้าหน้าที่ และพี่ ๆ นักวิจัยห้องปฏิบัติการนิเวศวิทยาทุกท่าน พี่วรรณ พี่อัจฉรา พี่พูล พี่นัท พี่วิน พี่ปอม พี่แพท พี่พลอย และพี่นิน ที่ช่วยให้ข้อมูล คำแนะนำ และแก้ไขปัญหาต่าง ๆ มากมายตลอดระยะเวลาในการทำงานวิจัย

ขอบคุณเพื่อน ๆ พี่ ๆ น้อง ๆ ภาควิชาพฤกษศาสตร์ คณะวิทยาศาสตร์ และภาควิชานิติเวชศาสตร์ คณะแพทยศาสตร์ ที่คอยให้กำลังใจ และการช่วยเหลือต่าง ๆ

ขอขอบพระคุณทุนอุดหนุนการศึกษาระดับบัณฑิตวิทยาลัย จุฬาลงกรณ์มหาวิทยาลัย เพื่อเฉลิมฉลองวโรกาสที่พระบาทสมเด็จพระเจ้าอยู่หัวภูมิพลอดุลยเดชทรงพระชนมายุครบ 72 พรรษา (สำหรับนิตีโครงการทุนการศึกษาสมเด็จพระบรมโอรสาธิราชฯ สยามมกุฎราชกุมาร) และทุนอุดหนุนวิทยานิพนธ์สำหรับนิตี

สุดท้ายนี้ขอกราบขอบพระคุณบิดา-มารดา และครอบครัว ผู้ให้การสนับสนุน และเป็นกำลังใจเสมอมา

สุนิตา ชุณห์กุล

สารบัญ

	หน้า
บทคัดย่อภาษาไทย	ค
บทคัดย่อภาษาอังกฤษ	ง
กิตติกรรมประกาศ.....	จ
สารบัญ	ฉ
สารบัญตาราง	ณ
สารบัญรูป	ญ
บทที่ 1	1
บทนำ	1
1.1 ความเป็นมาและความสำคัญของปัญหา.....	1
1.2 วัตถุประสงค์ของงานวิจัย	3
1.3 ขอบเขตของงานวิจัย	3
1.4 ประโยชน์ที่คาดว่าจะได้รับ.....	4
บทที่ 2.....	5
เอกสารและงานวิจัยที่เกี่ยวข้อง	5
2.1 การตรวจสอบการข่มขืน	5
2.2 ยีนอเมโลจีนิน.....	7
2.3 เทคนิคลูปมีดิเอเตดไอโซเทอร์มอลแอมพลิฟิเคชัน (Loop-Mediated Isothermal Amplification: LAMP)	8
2.4 การวิเคราะห์ Y-STR	14
2.5 การศึกษาการประยุกต์ใช้เทคนิค LAMP ในทางนิติวิทยาศาสตร์.....	15
บทที่ 3.....	18

วิธีดำเนินการวิจัย.....	18
3.1 เครื่องมือที่ใช้ในงานวิจัย.....	18
3.2 วัสดุอุปกรณ์ที่ใช้ในงานวิจัย.....	18
3.3 สารเคมีที่ใช้ในงานวิจัย.....	19
3.4 วิธีดำเนินการวิจัย	19
บทที่ 4.....	24
ผลการทดลอง.....	24
4.1 การออกแบบไพรเมอร์สำหรับเทคนิคลูปมีดีเอเตดไอโซเทอร์มอลแอมพลิฟิเคชัน	24
4.2 การตรวจสอบการปรากฏของสารพันธุกรรมในตำแหน่งอเมโลจีนินวายจากตัวอย่าง เยื่อบุ กระพุ้งแก้มจากอาสาสมัครเพศชายและเพศหญิงด้วยเทคนิคลูปมีดีเอเตด ไอโซเทอร์มอล แอมพลิฟิเคชัน.....	25
4.3 การทดสอบความไวของเทคนิคลูปมีดีเอเตดไอโซเทอร์มอลแอมพลิฟิเคชัน.....	26
4.4 การทดสอบความจำเพาะของเทคนิคลูปมีดีเอเตดไอโซเทอร์มอลแอมพลิฟิเคชัน.....	27
4.5 การทดสอบแบบอำพราง (blind test).....	27
4.6 การทดสอบการปรากฏของสารพันธุกรรมในตำแหน่งอเมโลจีนินวายจากตัวอย่าง น้ำซับ ช่องคลอดด้วยเทคนิคลูปมีดีเอเตดไอโซเทอร์มอลแอมพลิฟิเคชัน และการวิเคราะห์ Y-STR (เพื่อยืนยันความถูกต้องของเทคนิค LAMP)	28
4.7 วิเคราะห์ข้อมูลทางสถิติ	29
บทที่ 5.....	33
อภิปรายผล สรุปผลการวิจัย และข้อเสนอแนะ.....	33
5.1 อภิปรายผลการวิจัย	33
5.1.1 ความไวของเทคนิค LAMP.....	33
5.1.2 ความจำเพาะของเทคนิค LAMP	33
5.1.3 การทดสอบแบบอำพราง	34

5.1.4 เปรียบเทียบผลของเทคนิค LAMP กับการวิเคราะห์ Y-STR	34
5.1.5 สารสีฟลูออเรสเซนซ์	35
5.1.6 กรณีศึกษา.....	35
5.2 สรุปผลการวิจัย.....	37
5.3 ข้อเสนอแนะ.....	37
บรรณานุกรม	40
ภาคผนวก.....	43
ประวัติผู้เขียน.....	54



จุฬาลงกรณ์มหาวิทยาลัย
CHULALONGKORN UNIVERSITY

สารบัญตาราง

หน้า

ตารางที่ 1 สารสำคัญต่าง ๆ ที่สามารถตรวจพบได้ในสารคัดหลั่งเพศชาย (Jequier, 2011).....	5
ตารางที่ 2 Tm ที่เหมาะสมของแต่ละไพรเมอร์ในเทคนิค LAMP	10
ตารางที่ 3 ตัวอย่างน้ำซับช่องคลอดจากวิฑูรยานที่ได้รับการตรวจสอบผลโดยวิธีแอสิดฟอสฟาเตส และการตรวจด้วยกล้องจุลทรรศน์ จำนวน 92 ตัวอย่าง (+ = ตรวจพบ, - = ตรวจไม่พบ).....	20
ตารางที่ 4 ลำดับนิวคลีโอไทด์ของไพรเมอร์ทั้ง 6 ไพรเมอร์ที่จำเพาะเจาะจงต่อยีนอเมโลจีนินวาย....	24
ตารางที่ 5 ผลการทดสอบความไวของเทคนิคลูปมีดีเอเตดไอโซเทอร์มอลแอมพลิฟิเคชันและชุด ไพรเมอร์จากการออกแบบข้างต้น (สีเหลือง = ตรวจพบ สีส้ม = สี Transition และสีชมพู = ตรวจไม่พบ)	26
ตารางที่ 6 ผลการทดสอบแบบอำพราง (blind test) (สีเหลือง = ตรวจพบ สีชมพู = ตรวจไม่พบ และเครื่องหมาย ✓ คือผลการวิเคราะห์ถูกต้อง)	28
ตารางที่ 7 จำนวนตัวอย่างของผลการตรวจสอบด้วยวิธีแอสิดฟอสฟาเตส (AP) การตรวจด้วยกล้องจุลทรรศน์ (ME) เทคนิคลูปมีดีเอเตดไอโซเทอร์มอลแอมพลิฟิเคชัน (LAMP) และการวิเคราะห์ Y-STR	29
ตารางที่ 8 ประสิทธิภาพในการตรวจหาสารคัดหลั่งเพศชายด้วยวิธีแอสิดฟอสฟาเตส.....	29
ตารางที่ 9 ประสิทธิภาพในการตรวจหาอสุจิด้วยการส่องกล้องจุลทรรศน์.....	30
ตารางที่ 10 ประสิทธิภาพในการตรวจหาดีเอ็นเอเพศชายด้วยเทคนิค LAMP.....	30
ตารางที่ 11 ผลการวิเคราะห์โคสแควร์ระหว่างการตรวจหาสารคัดหลั่งเพศชายด้วยวิธีแอสิด ฟอสฟาเตส (AP) กับการวิเคราะห์ Y-STR.....	31
ตารางที่ 12 ผลการวิเคราะห์โคสแควร์ระหว่างการตรวจหาอสุจิด้วยการส่องกล้องจุลทรรศน์ (ME) กับการวิเคราะห์ Y-STR	31
ตารางที่ 13 ผลการวิเคราะห์โคสแควร์ระหว่างการตรวจหาดีเอ็นเอเพศชายด้วยเทคนิค LAMP กับการวิเคราะห์ Y-STR.....	32
ตารางที่ 14 ผลการตรวจสอบด้วยเทคนิค LAMP ที่มีความแตกต่างจากการวิเคราะห์ Y-STR	35

ตารางที่ 15 ผลการตรวจหาดีเอ็นเอเพศชายจากผู้เสียหาย	36
ตารางที่ 16 ปริมาตรของสารในการทำปฏิกิริยา LAMP.....	43
ตารางที่ 17 การเตรียมความเข้มข้น (10X) ของไพรเมอร์สำหรับทำปฏิกิริยา LAMP.....	43
ตารางที่ 18 ตารางการจรแบบ 2x2 ที่ใช้ในการคำนวณประสิทธิภาพของวิธีการทดลองที่ใช้ในการตรวจหาสิ่งที่เกี่ยวข้องกับเพศชาย.....	43
ตารางที่ 19 ความเข้มข้นดีเอ็นเอจากตัวอย่างเยื่อบุกระพุ้งแก้มของอาสาสมัครทั้งเพศชาย และเพศหญิง	44
ตารางที่ 20 ผลความเข้มข้นดีเอ็นเอ ผลแอดซิดฟอสฟาเตส (AP) ผลการส่องกล้องจุลทรรศน์ (ME) ผลเทคนิค LAMP และการวิเคราะห์ Y-STR ทั้ง 92 ตัวอย่าง	44
ตารางที่ 21 ความเข้มข้นดีเอ็นเอที่ใช้ในเทคนิค LAMP เทียบกับการวิเคราะห์ Y-STR	48



สารบัญรูป

หน้า

รูปที่ 1 ปฏิบัติการทดสอบเอนไซม์แอสิดฟอสฟาเตส (Yang et al., 2008).....	6
รูปที่ 2 ตำแหน่งของยีนอเมโลจีนิเนอิกซ์บนโครโมโซม Xp22.1 - Xp22.3 (ภาพถ่าย) และ ยีนอเมโลจีนิวายบนโครโมโซม Yp11.2 (ภาพขาว) (Butler and Li, 2014).....	8
รูปที่ 3 ความแตกต่างของลำดับนิวคลีโอไทด์บริเวณยีนอเมโลจีนิวายเทียบกับยีนอเมโลจีนิเนอิกซ์ ..	8
รูปที่ 4 ไพรมอร์ในเทคนิค LAMP (Montrasio, 2015).....	9
รูปที่ 5 ระยะห่างที่เหมาะสมระหว่างไพรมอร์ของเทคนิค LAMP (Montrasio, 2015).....	11
รูปที่ 6 โครงสร้างดีเอ็นเอในขั้นตอน initial ที่มีลักษณะเหมือนดัมเบล (dumbbell-like structure) (New England BioLabs, 2015 : online).....	12
รูปที่ 7 ผลจากการเกิดปฏิกิริยาของเทคนิค LAMP พบว่ามีดีเอ็นเอหลากหลายขนาด (New England BioLabs, 2015 : online)	13
รูปที่ 8 ผลการเกิดปฏิกิริยาของเทคนิค LAMP สามารถสังเกตตะกอนสีขาวขุ่นได้ด้วยตาเปล่า (หลอดที่ 1 แสดงตัวอย่างควบคุมลบ และหลอดที่ 2 แสดงตัวอย่างควบคุมบวก)	13
รูปที่ 9 ลำดับนิวคลีโอไทด์ของไพรมอร์จับกับยีนอเมโลจีนิวายเทียบกับยีนอเมโลจีนิเนอิกซ์ (ไพรมอร์ F3: สีน้ำเงิน ไพรมอร์ FIP: สีเขียว ไพรมอร์ LF: สีแดง ไพรมอร์ BIP: สีม่วง ไพรมอร์ LB: สีแดงเข้ม และไพรมอร์ B3: สีส้ม)	24
รูปที่ 10 ผลของสารสีฟีนอลเรดหลังการทำปฏิกิริยา LAMP ที่อุณหภูมิ 65 องศาเซลเซียส เป็นเวลา 30 นาที (NTC: ตัวอย่างควบคุมผลลบ FBC1-5: ตัวอย่างเยื่อกระดาษฟุ้งแถมของอาสาสมัครเพศหญิง และ MBC1-5: ตัวอย่างเยื่อกระดาษฟุ้งแถมของอาสาสมัครเพศชาย)	25
รูปที่ 11 ผลของการรันเจลโดยเครื่อง QIAxcel หลังการทำปฏิกิริยา LAMP ที่อุณหภูมิ 65 องศาเซลเซียส เป็นเวลา 30 นาที (NTC: ตัวอย่างควบคุมผลลบ FBC1-5: ตัวอย่างเยื่อกระดาษฟุ้งแถมของอาสาสมัครเพศหญิง และ MBC1-5: ตัวอย่างเยื่อกระดาษฟุ้งแถมของอาสาสมัครเพศชาย)	25
รูปที่ 12 ผลการทดสอบความจำเพาะของเทคนิคลูบิเตอเตดไอโซเทอร์มอลแอมพลิฟิเคชันและชุดไพรมอร์ในหนูเมาส์ (<i>Mus musculus</i>) หนูแรท (<i>Rattus norvegicus</i>) หมู (<i>Sus scrofa</i>)	

domesticus) และมนุษย์เพศหญิง (female) เทียบกับมนุษย์เพศชาย (male) และชุดควบคุมลบ (NTC)27



บทที่ 1

บทนำ

1.1 ความเป็นมาและความสำคัญของปัญหา

คดีข่มขืนกระทำชำเรา เป็นคดีอาชญากรรมทางเพศที่เกิดขึ้นในทุกสังคมตั้งแต่อดีตจนถึงปัจจุบัน สำหรับประเทศไทย ในปี พ.ศ. 2552-2553 พบว่าเด็กหญิงช่วงอายุต่ำกว่า 15 ปีถูกข่มขืนมากที่สุดเมื่อเทียบกับช่วงอายุอื่นในภาคตะวันออกเฉียงเหนือ (เลียงชัย จตุรัส et al., 2554) ใน พ.ศ. 2560 พบว่าเด็กและเยาวชนหญิงช่วงอายุ 5-20 ปีถูกข่มขืนมากที่สุดเมื่อเทียบกับช่วงอายุอื่นในประเทศไทย (สำนักงานกองทุนการสร้างเสริมสุขภาพ, 2561) และใน พ.ศ. 2563 คดีข่มขืนกระทำชำเราถูกจัดอยู่ในอันดับที่ 3 ของคดีอาญา ประเภทฐานความผิดเกี่ยวกับชีวิต ร่างกาย และเพศ (สำนักงานตำรวจแห่งชาติ, 2564)

ในทางนิติวิทยาศาสตร์ การตรวจดีเอ็นเอเป็นเครื่องมือสำคัญในการตรวจพิสูจน์เอกลักษณ์บุคคล และมีบทบาทในกระบวนการยุติธรรมเพื่อใช้ยืนยันตัวบุคคลผู้กระทำผิดและผู้เสียหาย ซึ่งได้รับการยอมรับทั้งในระดับชาติและระดับสากล (ฤกษ์อำนาจโชค, 2561) โดยแหล่งที่มาของดีเอ็นเอ ได้แก่ เลือด น้ำอสุจิ เยื่อช่องคลอด เส้นผม น้ำลาย และกระดูก เป็นต้น (National Institute of Justice, 2012 : online) การตรวจสอบตัวอย่างทางนิติวิทยาศาสตร์ต้องผ่านกระบวนการตรวจสอบเบื้องต้น (presumptive test) ซึ่งส่วนใหญ่อาศัยการทำปฏิกิริยาทางเคมีกับสารคัดหลั่งทำให้เกิดการเปลี่ยนสี ทำให้สามารถสังเกตได้ด้วยตาเปล่า และการตรวจสอบยืนยัน (confirmatory test) จากนั้นหากต้องการระบุตัวบุคคลเจ้าของตัวอย่างจะใช้เทคนิคการตรวจดีเอ็นเอชนิด short tandem repeat (STR analysis) (Kayser, 2017)

สำหรับการตรวจสอบเบื้องต้นเกี่ยวกับการมีอยู่ของสารคัดหลั่งเพศชาย หรือน้ำอสุจิ (semen) ในคดีข่มขืนกระทำชำเราในปัจจุบัน คือ วิธีการทดสอบแอซิดฟอสฟาเตส (acid phosphatase test) เป็นการตรวจหาเอนไซม์แอซิดฟอสฟาเตสในตัวอย่างส่งตรวจ โดยอาศัยการสังเกตการเปลี่ยนสีจากการทำปฏิกิริยาทางเคมีกับน้ำอสุจิ ซึ่งมีปริมาณเอนไซม์แอซิดฟอสฟาเตสสูง การทดสอบแอซิดฟอสฟาเตสนั้นมี

ความไว (sensitivity) ร้อยละ 65.5 ความจำเพาะ (specificity) ร้อยละ 96.4 (Peonim et al., 2013) และสามารถอ่านผลด้วยตาเปล่า แต่มีข้อจำกัด คือ ต้องตรวจสอบภายใน 72 ชั่วโมงหลังการข่มขืน และเอนไซม์แอสิดฟอสฟาเตสสามารถพบได้จากช่องคลอดของเพศหญิงในความเข้มข้นต่ำ รวมถึงเวลาในการปรากฏผลทดสอบบวกเป็นเวลาที่ยังไม่เหมาะสม (Ryan, 2014 : online) ส่วนการตรวจสอบยืนยัน ในปัจจุบันใช้วิธีการตรวจด้วยกล้องจุลทรรศน์ เป็นการตรวจหาอสุจิโดยอาศัยผู้เชี่ยวชาญในการตรวจสอบ (Jackson et al., 2020) ซึ่งผู้ตรวจสอบต้องใช้สายตาในการสังเกต อาจทำให้มีโอกาสในการเกิดผลลบเทียมได้ รวมทั้งในกรณีที่ผู้กระทำผิดเป็นหมัน ไม่มีการสร้างอสุจิ (azoospermia) หรือสร้างอสุจิน้อย (oligospermia) หรือเป็นหมันโดยการผ่าตัดท่อนำอสุจิ (vasectomy) อาจไม่พบอสุจิในน้ำอสุจิลอย (Martinez et al., 2015) สำหรับการใช้อุปกรณ์ตรวจหาดีเอ็นเอชนิด Y-STR ในการระบุตัวบุคคล ซึ่งเป็นวิธีที่มีความแม่นยำสูงและนับเป็นมาตรฐานในการบ่งชี้ว่าตัวอย่างที่ตรวจสอบมีองค์ประกอบของสารพันธุกรรมและเซลล์ของเพศชาย อย่างไรก็ตามการวิเคราะห์ Y-STR มีข้อเสียคือ ขั้นตอนทางห้องปฏิบัติการมีความซับซ้อน และใช้เวลาในการตรวจสอบเป็นระยะเวลานาน

ยีนอเมโลจีนินเป็นยีนที่สามารถพบทั้งโครโมโซมเอ็กซ์ที่บริเวณ Xp22.1-Xp22.3 เรียกว่า ยีนอเมโลจีนินเอ็กซ์ และโครโมโซมวายที่บริเวณ Yp11.2 เรียกว่ายีนอเมโลจีนินวาย โดยยีนที่อยู่ในแต่ละโครโมโซมจะมีขนาด และลำดับนิวคลีโอไทด์ที่แตกต่างกันเล็กน้อย (Frances et al., 2007) สำหรับดีเอ็นเอเพศชายจะสามารถพบทั้งยีนอเมโลจีนินเอ็กซ์ และวาย ส่วนดีเอ็นเอเพศหญิงจะสามารถพบเฉพาะยีนอเมโลจีนินเอ็กซ์เท่านั้น ดังนั้นการตรวจหาการมีอยู่ของดีเอ็นเอเพศชายจึงตรวจหายีนอเมโลจีนินวายเท่านั้น

เทคนิค Loop-mediated isothermal amplification (LAMP) เป็นวิธีการเพิ่มกรดนิวคลีอิก ซึ่งมีความจำเพาะ และประสิทธิภาพสูง ภายในสภาพอุณหภูมิคงที่ (Notomi et al., 2000) การทำปฏิกิริยาของเทคนิค LAMP จะใช้ไพรเมอร์จำนวน 4-6 ไพรเมอร์ ประกอบด้วย inner primer (FIP และ BIP) และ outer primers (F3 และ B3) นอกจากนี้ยังสามารถเติมลูโปไพรเมอร์ (LF และ LB) เพื่อเร่งการเกิดปฏิกิริยาได้ (Nagamine et al., 2002) และสามารถสังเกตผลจากการทำปฏิกิริยาได้ด้วยตาเปล่าโดยดูจากความขุ่นของสารละลายในหลอดที่ใช้ทดสอบ เนื่องจากการเกิดแมกนีเซียมไฮดรอกไซด์ หรือตรวจสอบผลด้วยวิธีเจลอิเล็กโตรโฟรีซิส นอกจากนี้ยังสามารถใช้สารสีในการเกิดปฏิกิริยาได้ เช่น hydroxynaphthol blue (HNB) (Jackson et al., 2020)

จากการศึกษาก่อนหน้า โดย Nogami และคณะ มีการใช้เทคนิค LAMP ในการกำหนดเพศ จากตัวอย่างเนื้อเยื่อในโพรงประสาทฟันที่สกัดดีเอ็นเอแล้วเก็บไว้ 1-25 ปี ที่อุณหภูมิห้อง โดยใช้ไพรเมอร์ 4 ชุด ได้แก่ ชุดไพรเมอร์อเมโลจินิกินเอ็กซ์ ชุดไพรเมอร์อเมโลจินิกินวาย ชุดไพรเมอร์อเมโลจินิกินเอ็กซ์ร่วมกับลูปไพรเมอร์ และชุดไพรเมอร์อเมโลจินิกินวายร่วมกับลูปไพรเมอร์ ซึ่งผลการศึกษาพบว่าสามารถแยกเพศจากตัวอย่างเนื้อเยื่อในโพรงประสาทฟันได้ และชุดไพรเมอร์ที่มีลูปไพรเมอร์จะใช้เวลาในการตรวจสอบน้อยที่สุด (Nogami et al., 2008) ต่อมาได้มีการนำไพรเมอร์ของ Nogami และคณะ มาใช้ในการศึกษาการตรวจหาอเมโลจินิกินวายโลคัสในน้ำซึบช่องคลอดในคดีความผิดทางเพศโดยใช้เทคนิค LAMP ซึ่งผลการศึกษาพบว่าในการตรวจตำแหน่งอเมโลจินิกินวายโลคัส โดยเทคนิค LAMP แตกต่างจากการตรวจหาสุจิอย่างมีนัยสำคัญ (ธีระชัย วชิราวีโรจน์ et al., 2556) ต่อมา มีการศึกษาเปรียบเทียบระหว่างการใช้ชุดไพรเมอร์ที่มีการเติมลูปไพรเมอร์ 1 ไพรเมอร์ (LF) จากการศึกษาของ Nogami และคณะเทียบกับการใช้ชุดไพรเมอร์ที่มีการเติมลูปไพรเมอร์ 2 ไพรเมอร์ (LF และ LB) ผลการศึกษาพบว่าการใช้ลูปไพรเมอร์ 2 ไพรเมอร์ ทำให้การเกิดปฏิกิริยาของเทคนิค LAMP เร็วกว่าการใช้ลูปไพรเมอร์เพียง 1 ไพรเมอร์ (Scott et al., 2019)

ในการศึกษานี้ ผู้วิจัยได้พัฒนาการตรวจสอบการปรากฏของดีเอ็นเอเพศชายจากตัวอย่างน้ำซึบช่องคลอดในคดีข่มขืนกระทำชำเรา โดยใช้เทคนิค LAMP ตรวจสอบที่เครื่องหมายพันธุกรรมตำแหน่งอเมโลจินิกินวาย เนื่องจากเป็นเทคนิคที่มีความไว และความจำเพาะสูง และข้อมูลที่ได้จากการศึกษาครั้งนี้สามารถใช้เป็นวิธีทางเลือกในการตรวจตัวอย่างในคดีข่มขืนกระทำชำเราให้สะดวก และมีความจำเพาะมากยิ่งขึ้น

1.2 วัตถุประสงค์ของงานวิจัย

เพื่อพัฒนาการตรวจหาดีเอ็นเอเพศชายจากตัวอย่างน้ำซึบช่องคลอดโดยเทคนิคลูปมีติเอเตดไอโซเทอร์มอลแอมพลิฟิเคชัน

1.3 ขอบเขตของงานวิจัย

พัฒนาเทคนิคลูปมีติเอเตดไอโซเทอร์มอลแอมพลิฟิเคชันและออกแบบไพรเมอร์บริเวณยีนอเมโลจินิกินวายให้เหมาะสมสำหรับการตรวจดีเอ็นเอเพศชาย รวมทั้งหาความไวและความจำเพาะของไพรเมอร์ จากนั้นทดลองใช้เทคนิคลูปมีติเอเตดไอโซเทอร์มอลแอมพลิฟิเคชันตรวจตัวอย่างในคดีข่มขืนกระทำชำเราที่เกิดขึ้นจริงในประเทศไทย

1.4 ประโยชน์ที่คาดว่าจะได้รับ

สามารถใช้เทคนิคลูปมิติเอเตดไอโซเทอร์มอลแอมพลิฟิเคชันเป็นวิธีทางเลือกในการตรวจตัวอย่างในคดีข่มขืนกระทำชำเราให้สะดวกและมีความจำเพาะมากยิ่งขึ้น



บทที่ 2

เอกสารและงานวิจัยที่เกี่ยวข้อง

2.1 การตรวจสอบการข่มขืน

สารคัดหลั่งเพศชาย (semen) คือของเหลวที่สร้างจากอวัยวะสืบพันธุ์เพศชาย มีสีขาวนํ้านม และค่อนข้างข้น โดยสีขาวนํ้านมของสารคัดหลั่งเพศชายเกิดจากโปรตีนปริมาณมากภายในสารคัดหลั่ง และความชุ่มชื้นของสารคัดหลั่งเกิดจากอสุจิจำนวนมากภายในสารคัดหลั่ง

องค์ประกอบของสารคัดหลั่งเพศชาย

ส่วนประกอบต่าง ๆ ของสารคัดหลั่งเพศชายมีแหล่งกำเนิดที่แตกต่างกัน ซึ่งส่วนประกอบต่าง ๆ จะผสมกันบริเวณท่อปัสสาวะและหลังออกสู่ภายนอก โดยแหล่งกำเนิดของสารคัดหลั่งเพศชายประกอบด้วย อัณฑะ ท่ออสุจิ ถุงน้ำเชื้อ ต่อมลูกหมาก ต่อมบัลโบยูริทริล และท่อปัสสาวะ สารสำคัญต่าง ๆ ภายในสารคัดหลั่งเพศชาย (Jequier, 2011) ดังตารางที่ 1

ตารางที่ 1 สารสำคัญต่าง ๆ ที่สามารถตรวจพบได้ในสารคัดหลั่งเพศชาย (Jequier, 2011)

แหล่งที่มา	สารเคมี
อัณฑะ (testis) และท่ออสุจิ (excurrent ducts)	Testosterone
	Inhibin B
	Transferrin
	Ceruloplasmin
	L-carnitine
	Glycerophosphorylcholine
	Inositol
	Lactic dehydrogenase C ₄
	Sperm cell
	ถุงน้ำอสุจิ (seminal vesicles)
Prostaglandins (PGE ₂)	
Seminogelin I and II	
Nitric oxide synthase	
ต่อมลูกหมาก (prostate gland)	Prostatic acid phosphatase
	Prostate-specific antigen

Vesiculase
Spermine
Citric acid and citratre
Zinc, calcium, and megnesium

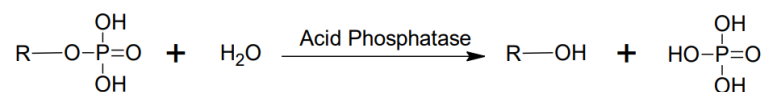
ค่า pH ของสารคัดหลั่งเพศชาย

สารคัดหลั่งเพศชายมีค่า pH ระหว่าง 7.2-8.4 ซึ่งเป็นค่า pH ปกติของร่างกาย ถ้าค่า pH ต่ำกว่า 7.2 อาจเกิดจากความเข้มข้นของอสุจิน้อยหรือท่อสืบพันธุ์ผิดปกติ และถ้าค่า pH เกิน 8.4 อาจเกิดจากการติดเชื้อภายในท่อปัสสาวะ (Jequier, 2011)

ปัจจุบันการตรวจสอบค่าเข้มข้นทางนิติวิทยาศาสตร์ ประกอบด้วยการตรวจสอบเบื้องต้นจะใช้การทดสอบเอนไซม์แอซิดฟอสฟาเตส และการตรวจสอบยืนยันจะใช้การตรวจหาอสุจิด้วยกล้องจุลทรรศน์

1. การทดสอบเอนไซม์แอซิดฟอสฟาเตส (acid phosphatase test)

การทดสอบเอนไซม์แอซิดฟอสฟาเตส เป็นการตรวจสอบเบื้องต้นเพื่อระบุการมีอยู่ของสารคัดหลั่งเพศชายบนวัตถุพยานในทางนิติวิทยาศาสตร์ โดยเอนไซม์แอซิดฟอสฟาเตสสามารถพบได้มากในน้ำอสุจิ ซึ่งผลิตจากต่อมลูกหมากของอวัยวะเพศชาย หลักการของการทดสอบแอซิดฟอสฟาเตสจะใช้การเปลี่ยนแปลงของปฏิกิริยาเคมีในชุดน้ำยา กล่าวคือ เมื่อนำชุดน้ำยาไปทดสอบกับน้ำอสุจิ เอนไซม์แอซิดฟอสฟาเตสจะเร่งการเกิดปฏิกิริยาไฮโดรไลซิสของแอลฟาเนปทิลฟอสเฟต (α -naphthyl phosphate) เกิดเป็นสารพวกฟีนอล (naphthol) ซึ่งจะทำปฏิกิริยาต่อกับสารเบนทามีนฟาสบลู (Brentamine Fast Blue) ที่อยู่ในชุดน้ำยา ทำให้เกิดเป็นสีม่วงขึ้นภายในเวลา 60 วินาที (Lewis et al., 2013) ดังรูปที่ 1



รูปที่ 1 ปฏิกิริยาการทดสอบเอนไซม์แอซิดฟอสฟาเตส (Yang et al., 2008)

ข้อดีของการทดสอบด้วยชุดทดสอบเอนไซม์แอซิดฟอสฟาเตส คือทดสอบง่าย รวดเร็ว และสามารถอ่านผลได้ด้วยตาเปล่า แต่อย่างไรก็ตามการทดสอบนี้มีข้อเสีย คือสามารถเกิดผลบวกวงได้เนื่องจากเอนไซม์แอซิดฟอสฟาเตสสามารถพบได้ในส่วนอื่น ๆ ของร่างกายของทั้งเพศชาย

และเพศหญิง ซึ่งจากผลการศึกษาของ Lewis และคณะ พบว่าชุดน้ำยาสามารถให้ผลบวกในตัวอย่าง น้ำซับช่องคลอด และน้ำลายได้ (Lewis et al., 2013)

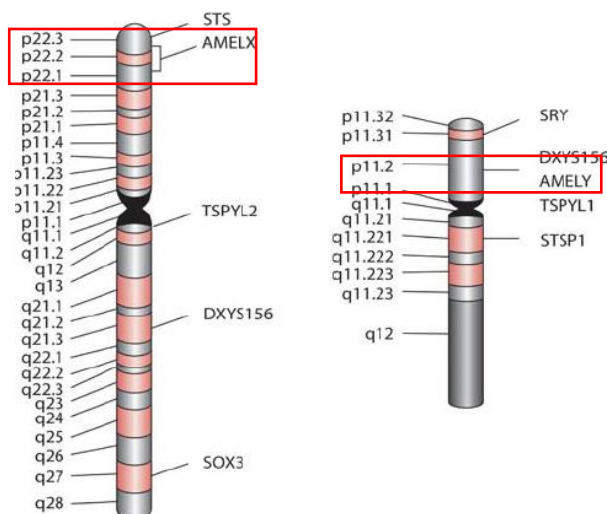
2. การตรวจหาอสุจิด้วยกล้องจุลทรรศน์

การตรวจหาอสุจิด้วยกล้องจุลทรรศน์ เป็นขั้นตอนการตรวจสอบยืนยันการมีอยู่ของอสุจิใน พยานหลักฐานซึ่งใช้กันอย่างแพร่หลายในปัจจุบัน โดยหลักฐานที่ได้คือหลักฐานจากน้ำซับช่องคลอด ของผู้เสียหายหรือวัตถุพยานบริเวณที่เกิดเหตุ นำมาป้ายบนแผ่นสไลด์จากนั้นนำสไลด์มาย้อม สีอีมาทอกซิลินและอีไอซิน (H&E) แล้วจึงส่องหาอสุจิด้วยกล้องจุลทรรศน์ ซึ่งบริเวณหัวของอสุจิจะมี นิวเคลียสจะติดสีน้ำเงิน ส่วนบริเวณไซโทพลาซึมจะติดสีชมพู

แม้ว่ากระบวนการทำงานในการตรวจหาตัวอสุจิด้วยวิธีนี้ไม่มีความซับซ้อน แต่อย่างไรก็ตาม การตรวจสอบด้วยวิธีนี้ยังคงเป็นปัญหาเนื่องจากในการตรวจสอบต้องใช้ผู้เชี่ยวชาญที่มีประสบการณ์ ในการดำเนินการเนื่องจากการสังเกตตัวอสุจิทำได้ยาก ในกรณีที่มีปริมาณอสุจิน้อยหรือไม่มีอสุจิ ผู้ตรวจสอบอาจใช้เวลาหลายชั่วโมงในการส่องกล้องจุลทรรศน์ ซึ่งเป็นการสิ้นเปลืองเวลาและ ทรัพยากรบุคคลเป็นอย่างมาก นอกจากนี้ในบางกรณีผู้ตรวจสอบอาจมีการสังเกตตกหล่นทำให้ผลที่ ออกมาผิดพลาด (Riman et al., 2015)

2.2 ยีนอเมโลจีนิ

ยีนอเมโลจีนิสามารถพบได้ทั้งโครโมโซมเอ็กซ์ และโครโมโซมวาย บริเวณตำแหน่ง Xp22.1 - Xp22.3 บนโครโมโซมเอ็กซ์ และ Yp11.2 บนโครโมโซมวาย ดังรูปที่ 2 โดยยีนอเมโลจีนิเอ็กซ์ และยีนอเมโลจีนิวายมีลำดับนิวคลีโอไทด์ที่คล้ายคลึงกัน 89 เฟอร์เซ็นต์ (Nakahori et al., 1991) ซึ่งยีนทั้งสองมีบางบริเวณที่ลำดับนิวคลีโอไทด์แตกต่างกัน และมีการขาดหาย (deletion) หรือเพิ่ม ขึ้นมาของนิวคลีโอไทด์ (insertion) ดังรูปที่ 3 เป็นการเปรียบเทียบลำดับนิวคลีโอไทด์บางส่วนของ ยีนอเมโลจีนิวาย และยีนอเมโลจีนิเอ็กซ์ ซึ่งบริเวณที่ยีนทั้งสองมีนิวคลีโอไทด์เหมือนกันจะมี เครื่องหมาย “ * ” ดังนั้นความแตกต่างระหว่างยีนอเมโลจีนิเอ็กซ์ และยีนอเมโลจีนิวาย สามารถ นำมาใช้เป็นเครื่องหมายในการระบุเพศในทางนิติวิทยาศาสตร์ได้ (Butler and Li, 2014) เนื่องจาก ยีนอเมโลจีนิเอ็กซ์ สามารถพบได้ทั้งเพศหญิงและเพศชาย แต่ยีนอเมโลจีนิวายสามารถพบได้ เฉพาะเพศชายเท่านั้น



รูปที่ 2 ตำแหน่งของยีนอเมโลจีนินเอ็กซ์บนโครโมโซม Xp22.1 - Xp22.3 (ภาพซ้าย) และ ยีนอเมโลจีนินวายบนโครโมโซม Yp11.2 (ภาพขวา) (Butler and Li, 2014)

AMELY	TGATTTGCTCAGTGGCTTAAGGTATGGTTATTAGTTGACGTTATGGTGAAGTTTTTCTGG	1216
AMELX	GAATGCTATTTGTGCCATAATCGATTTGAACCAGCCCCGCTATTTGGTAGACATTTTGTTT	1276
	* * * * *	
AMELY	GGACTGTGATACCAGGTAGGTTAATGCCCCAGTAGCAGTGGTACATCAAGCATCCCTGT	1276
AMELX	TAAATGTACTTCATA-----GGCCAGGCGCAGTGGCTCATGC-----CTGTAA	1320
	* * * * * * * * * * * * * * * * * *	
AMELY	TCATAGCCATCAATGCAGCTTAAACAGGCACCAATGTTACTGGGTCTGGAAAGTCAATT	1336
AMELX	TCCCAGCACTTTGGGAGGCCGAGGCAGGCA-----GATCATGAGGTCAGGAGATGGAGAC	1375
	* * * * * * * * * * * * * * * * * *	
AMELY	CTTGACCACCTGGACGGCTTGTTTAGACACTGGTAGTGAGAGCAATGATCTGGGTGGCTA	1396
AMELX	CATC-----CTGGACAACATGGTGAAACCCCGTCTCTACTAAAAATATAAAAATAAGCTG	1430
	* * * * * * * * * * * * * * * * * *	
AMELY	GGTGGATTCTCAGTCCCCGTCCAGCTGGTATGATATATGTTATAGCAGTACCAGTGGTG	1456
AMELX	GGCATGGTGGCATGTGCCTGTAATCC-----	1456
	* * * * * * * * * * * * * * * * * *	

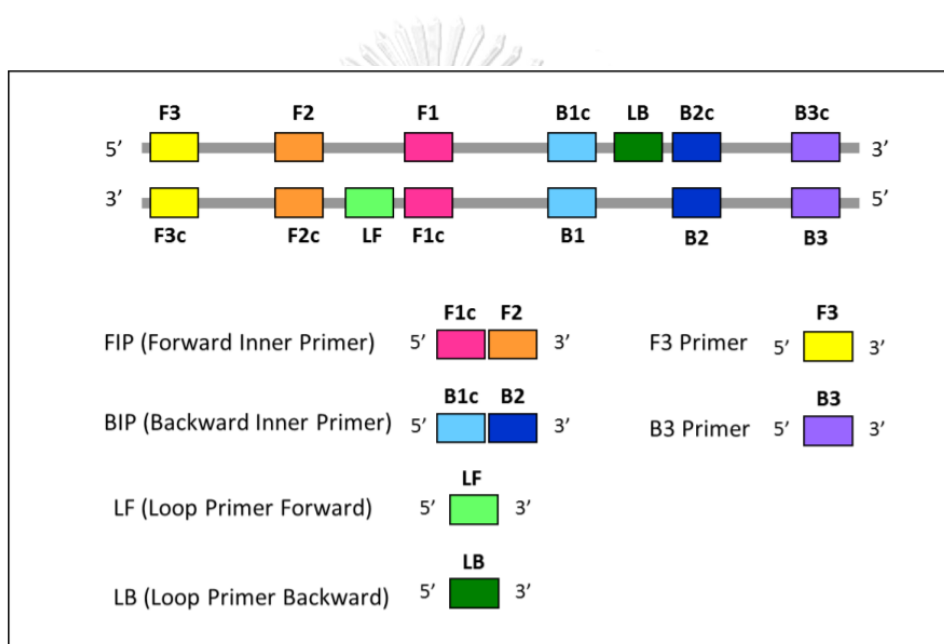
รูปที่ 3 ความแตกต่างของลำดับนิวคลีโอไทด์บริเวณยีนอเมโลจีนินวายเทียบกับยีนอเมโลจีนินเอ็กซ์

2.3 เทคนิคลูปมีดิเอเตดไอโซเทอร์มอลแอมพลิฟิเคชัน (Loop-Mediated Isothermal Amplification: LAMP)

เทคนิค LAMP ถูกคิดค้นโดย Tsugunori Notomi และคณะใน ค.ศ. 2000 ซึ่งมีการเพิ่มปริมาณดีเอ็นเออย่างรวดเร็ว โดยมีความจำเพาะ และมีประสิทธิภาพสูง ภายใต้อุณหภูมิคงที่ตลอดการทำปฏิกิริยาในช่วงอุณหภูมิ 60-65 องศาเซลเซียส ดังนั้นในการใช้เทคนิค LAMP เพิ่มปริมาณดีเอ็นเอจึงไม่จำเป็นต้องใช้เครื่องเพิ่มปริมาณดีเอ็นเอ (thermal cycler) ในการปรับอุณหภูมิ โดยการทำปฏิกิริยาของเทคนิค LAMP ใช้ไพรเมอร์ 4-6 ไพรเมอร์ จับบริเวณดีเอ็นเอเป้าหมาย ซึ่งผลจากการ

เพิ่มปริมาณดีเอ็นเอโดยเทคนิค LAMP จะได้สายดีเอ็นเอที่มีลักษณะโครงสร้างแบบดัมเบล (dumbbell structure) (Notomi et al., 2000)

ไพรเมอร์ที่ใช้ในการทำปฏิกิริยาในเทคนิค LAMP มีทั้งหมด 6 ตัว ซึ่งถูกออกแบบให้จำเพาะกับยีนเป้าหมาย ประกอบด้วย F3 (forward primer), B3 (backward primer), FIP (forward inner primer), BIP (backward inner primer), FL (loop primer forward) และ BL (loop primer backward) ดังรูปที่ 4 โดยไพรเมอร์ FL และ BL ใช้ในการเร่งปฏิกิริยาของเทคนิค LAMP ให้เกิดได้ไวขึ้น ซึ่งจะมีหรือไม่มีในการทำปฏิกิริยาก็ได้



รูปที่ 4 ไพรเมอร์ในเทคนิค LAMP (Montrasio, 2015)

ปัจจัยหลักในการออกแบบไพรเมอร์ในเทคนิค LAMP มีดังนี้ (Eiken Chemical : online)

1. Melting temperature (Tm)

ค่า Tm คือ อุณหภูมิที่ทำให้ครึ่งหนึ่งของดีเอ็นเอแยกตัวออกจากกันกลายเป็นดีเอ็นเอสายเดี่ยว ซึ่งค่า Tm ของไพรเมอร์จะส่งผลกระทบต่อความเสถียรของการเข้าคู่กับดีเอ็นเอแม่แบบ และยังมีผลต่อความไว (sensitivity) และความจำเพาะ (specificity) ของการเพิ่มปริมาณดีเอ็นเอ โดยค่า Tm ที่เหมาะสมแก่ไพรเมอร์แต่ละตำแหน่ง ดังตารางที่ 2

ตารางที่ 2 T_m ที่เหมาะสมของแต่ละไพรเมอร์ในเทคนิค LAMP

ไพรเมอร์	T_m (°C)
F1c, B1c	64 - 66
F2, B2	59 - 61
F3, B3	59 - 61
FIP, BIP	64 - 66
LF, LB	61 - 63

2. ความยาวของไพรเมอร์

ความยาวที่เหมาะสมสำหรับไพรเมอร์ที่ใช้โดยทั่วไปคือ 18 – 22 คู่เบส ซึ่งเป็นความยาวที่พอเหมาะสำหรับการจับของไพรเมอร์บริเวณดีเอ็นเอแม่แบบ

ความยาวของไพรเมอร์ส่งผลโดยตรงต่อค่า T_m ของไพรเมอร์ ขึ้นอยู่กับอัตราส่วนของคู่เบส โดยความยาวของไพรเมอร์สามารถยาวมากขึ้นได้ในบริเวณที่คู่เบส AT สูง หรือสามารถสั้นลงได้ในบริเวณที่มีคู่เบส GC สูง เพื่อให้ได้ค่า T_m ที่เหมาะสมในการทำปฏิกิริยา LAMP

3. สัดส่วน GC (GC content)

สัดส่วนเบส GC ที่เหมาะสมสำหรับไพรเมอร์ควรมีค่าระหว่าง 40% - 65% โดยสัดส่วนเบส GC ส่งผลให้ได้ไพรเมอร์ที่ดีมีค่าระหว่าง 50% - 60%

4. โครงสร้างรองของไพรเมอร์ (primer secondary structures)

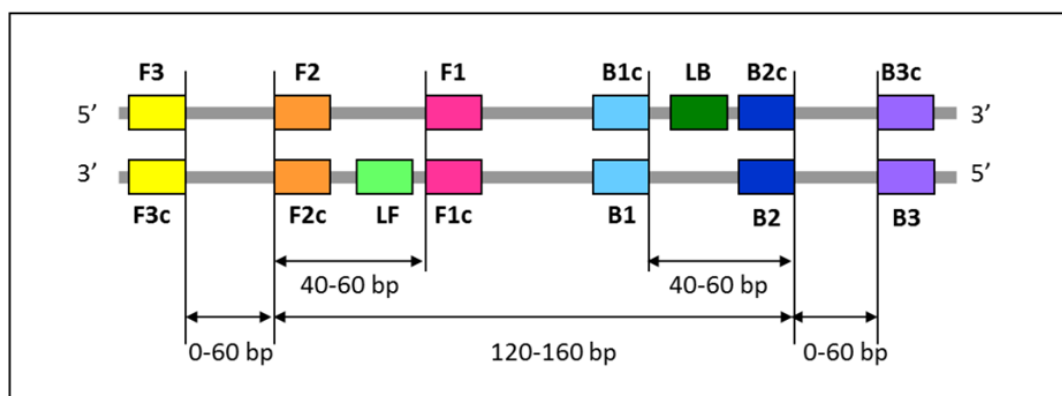
สำหรับ LAMP ไพรเมอร์ โดยเฉพาะบริเวณ FIB และ BIP ควรได้รับการออกแบบให้หลีกเลี่ยงการก่อตัวของโครงสร้างรอง (secondary structures) ซึ่งการเกิดโครงสร้างรองของไพรเมอร์ส่งผลโดยตรงต่อการทำปฏิกิริยาของไพรเมอร์

โครงสร้างรองของไพรเมอร์เกิดจากปฏิสัมพันธ์ภายในโมเลกุลของไพรเมอร์ โดยความเสถียรของโครงสร้างรองของไพรเมอร์แทนด้วยค่า ΔG ซึ่งเป็นค่าของพลังงานที่ต้องการสำหรับทำลายโครงสร้างรองของไพรเมอร์ โดยค่า ΔG ที่มีค่าติดลบมากแสดงให้เห็นถึงความเสถียรของไพรเมอร์

5. ระยะห่างระหว่างไพรเมอร์

ในการออกแบบไพรเมอร์ต้องคำนึงถึงระยะห่างระหว่างไพรเมอร์ เพื่อให้สัมพันธ์กับขนาดผลจากการเพิ่มปริมาณดีเอ็นเอซึ่งอยู่ในรูปแบบดัมเบล โดยระยะห่างระหว่างที่เหมาะสมประกอบด้วย

ระยะห่างระหว่างปลาย 5' ของ F2/B2 และ F1c/B1c เท่ากับ 40-60 นิวคลีโอไทด์ ระยะห่างระหว่างปลาย 3' ของ F3/B3 และปลาย 5' ของ F2/B2 เท่ากับ 0-60 นิวคลีโอไทด์ และระยะห่างระหว่างปลาย 5' ของ F2 และ B2 เท่ากับ 120-160 นิวคลีโอไทด์ ดังรูปที่ 5



รูปที่ 5 ระยะห่างที่เหมาะสมระหว่างไพรเมอร์ของเทคนิค LAMP (Montrasio, 2015)

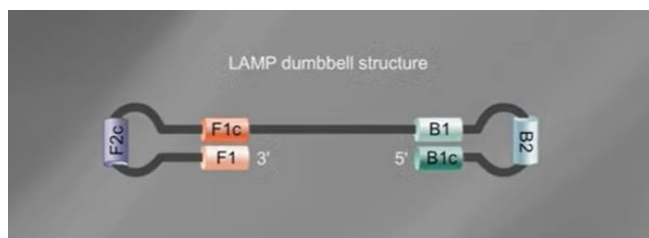
การเกิดปฏิกิริยาของเทคนิค LAMP ประกอบด้วย 3 ขั้นตอน คือ 1.) starting material initial step 2.) cycling amplification step และ 3.) elongation and recycling step (Notomi et al., 2000)

1. Starting material initial step

การเกิดปฏิกิริยาของเทคนิค LAMP เริ่มจากการเติมเอนไซม์ ซึ่งทำงานได้ดีในช่วงอุณหภูมิ 60 – 65 °C เพื่อใช้ในการแยกสายดีเอ็นเอสายคู่เป็นดีเอ็นเอสายเดี่ยว จากนั้นไพรเมอร์ BIP ด้าน B2 เข้าจับกับบริเวณ B2c บนสายดีเอ็นเอเป้าหมายและทำการสังเคราะห์ดีเอ็นเอจากด้าน 3' ไปยัง 5' จากนั้นไพรเมอร์ B3 จะมาจับบริเวณ B3c แล้วทำการสังเคราะห์ดีเอ็นเอจากด้าน 3' ไปยัง 5' แทนที่สายดีเอ็นเอที่ถูกสังเคราะห์จากไพรเมอร์ BIP โดยสายดีเอ็นเอที่สังเคราะห์โดยไพรเมอร์ BIP บริเวณด้าน 5' จะทำการจับกันเป็น loop ระหว่างบริเวณ B1 กับ B1c

จากนั้นไพรเมอร์ FIP ด้าน F2 จะเข้าจับบริเวณ F2c บนสายดีเอ็นเอที่ถูกสังเคราะห์โดยไพรเมอร์ BIP และทำการสังเคราะห์ดีเอ็นเอจากด้าน 3' ไปยัง 5' จากนั้นไพรเมอร์ F3 จะมาจับบริเวณ F3c แล้วทำการสังเคราะห์ดีเอ็นเอจากด้าน 3' ไปยัง 5' แทนที่สายดีเอ็นเอที่ถูกสังเคราะห์จากไพรเมอร์ FIP โดยสายดีเอ็นเอที่สังเคราะห์โดยไพรเมอร์ FIP บริเวณด้าน 5' จะทำการจับกันเป็น

loop ระหว่างบริเวณ F1 กับ F1c เกิดเป็นสายดีเอ็นเอที่มีโครงสร้างเหมือนดัมเบล (Dumbbell-like structure) ดังรูปที่ 6



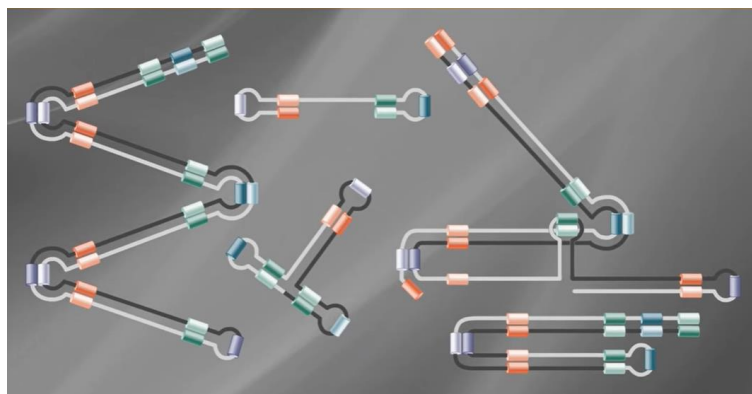
รูปที่ 6 โครงสร้างดีเอ็นเอในขั้นตอน initial ที่มีลักษณะเหมือนดัมเบล (dumbbell-like structure) (New England BioLabs, 2015 : online)

2. Cycling amplification step

เมื่อได้ดีเอ็นเอที่มีโครงสร้างเหมือนดัมเบลจากการสังเคราะห์ในช่วงแรก ไพรมเมอร์ด้าน B1 จะทำการสังเคราะห์ดีเอ็นเอจากด้าน 3' ไปยังด้าน 5' ทำให้สายดีเอ็นเอด้าน 5' ที่ขดตัวเป็น loop จากนั้นไพรมเมอร์ BIP และ FIP จะเข้ามาจับบริเวณ B2 และ F2 ตามลำดับและทำการสังเคราะห์ DNA เป็นวัฏจักรอย่างต่อเนื่อง ทำให้ได้สายดีเอ็นเอที่มีลักษณะเหมือนดัมเบลเพิ่มขึ้นอย่างต่อเนื่อง

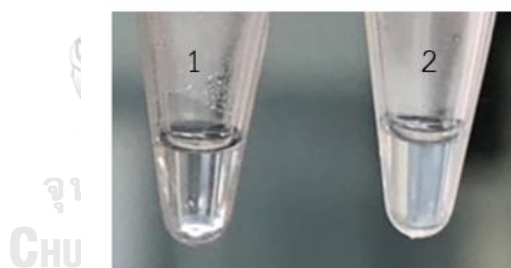
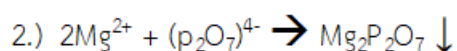
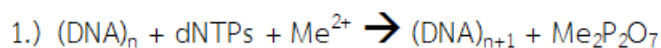
3. Elongation and recycling step

ขั้นตอนนี้เป็นการเกิดปฏิกิริยาซ้ำอย่างต่อเนื่องจากการสังเคราะห์สายดีเอ็นเอของไพรมเมอร์ BIP และ FIP เกิดเป็นสายดีเอ็นเอที่มีโครงสร้างดัมเบลที่ต่อกันหลายข้อ และสามารถเกิดการสังเคราะห์ต่อไปอย่างต่อเนื่อง ทำให้ได้ผลผลิตจากการเกิดปฏิกิริยาของเทคนิค LAMP ปริมาณมากในเวลารวดเร็ว และมีหลากหลายขนาดขึ้นอยู่กับจำนวนข้อที่ต่อกัน ดังรูปที่ 7



รูปที่ 7 ผลจากการเกิดปฏิกิริยาของเทคนิค LAMP พบว่ามีดีเอ็นเอหลากหลายขนาด (New England BioLabs, 2015 : online)

การเกิดปฏิกิริยาของเทคนิค LAMP เมื่อปฏิกิริยาดำเนินไปจะทำให้เกิดตะกอนสีขาวขุ่นจากการเกิดแมกนีเซียมไพโรฟอสเฟต ($Mg_2P_2O_7$) ซึ่งสามารถสังเกตได้ด้วยตาเปล่า ดังรูปที่ 8 และสมการต่อไปนี้ (Jackson et al., 2020)



รูปที่ 8 ผลการเกิดปฏิกิริยาของเทคนิค LAMP สามารถสังเกตตะกอนสีขาวขุ่นได้ด้วยตาเปล่า (หลอดที่ 1 แสดงตัวอย่างควบคุมลบ และหลอดที่ 2 แสดงตัวอย่างควบคุมบวก)

การตรวจสอบผลการเกิดปฏิกิริยาของเทคนิค LAMP ด้วยสารสี

1. Hydroxynaphthol blue (HNB): สารสี HNB ถูกนำมาใช้ในการตรวจสอบปฏิกิริยาของเทคนิค LAMP จากการเปลี่ยนแปลงของปริมาณแมกนีเซียมไอออน โดยสีของสารละลายจะเปลี่ยนจากสีม่วงไปเป็นสีฟ้าเมื่อความเข้มข้นของแมกนีเซียมไอออนลดลงจากการรวมตัวกับไพโรฟอสเฟต เกิดเป็นแมกนีเซียมไพโรฟอสเฟต (Goto et al., 2009)

2. Calcein: ในสภาวะปกติสารสี calcein จะจับกับแมงกานีสไอออน ในช่วงนี้สารละลายยังคงมีสีเหลือง เมื่อเติม dNTPs เพื่อเริ่มการเพิ่มปริมาณดีเอ็นเอโดยเทคนิค LAMP พร้อมกับทำการกระตุ้นด้วยแสง UV ทำให้แมงกานีสไอออนหลุดออกและแมงกานีสไอออนจะเข้ามาจับกับ calcein แทน ทำให้สีของสารละลายเปลี่ยนจากสีส้มเหลืองเป็นสีเขียว (Tomita et al., 2008)
3. Phenol red: สารสี phenol red เป็นสารสีที่มีการเปลี่ยนสีตาม pH ของสารละลาย ในช่วงก่อนเกิดการทำปฏิกิริยาแมงกานีสไอออนในสารละลายส่งผลให้สารละลายมีสถานะเป็นเบสส่งผลให้ฟีนอลเรดมีสีชมพู หลังจากการเกิดปฏิกิริยาของเทคนิค LAMP แมงกานีสไอออนจะจับกับฟอสเฟตเกิดเป็นแมงกานีสฟอสเฟตซึ่งเป็นกลางส่งผลให้ค่า pH ของสารละลายลดลง สีของฟีนอลเรดจึงเปลี่ยนจากสีชมพูเป็นสีเหลือง (Scott et al., 2019)

2.4 การวิเคราะห์ Y-STR

เอสทีอาร์ (short tandem repeat, STR) หรือ ไมโครแซตเทลไลต์ (microsatellite) คือ ส่วนของดีเอ็นเอบริเวณที่มีการเรียงตัวของลำดับเบสซ้ำมีความยาวประมาณ 1-6 คู่เบส โดยแต่ละบุคคลจะมีจำนวนการซ้ำของลำดับนิวคลีโอไทด์ที่แตกต่างกัน ซึ่งจำนวนที่แตกต่างกันดังกล่าวถูกนำมาประยุกต์ใช้ในกระบวนการตรวจสอบทางนิติวิทยาศาสตร์ในการระบุตัวผู้ต้องสงสัยจากหลักฐานพยานทางชีวภาพ (Roewer, 2019) ในปัจจุบันเอสทีอาร์สามารถตรวจได้ทั้งออโตโซม (autosomal STR) โครโมโซมเอ็กซ์ (X-STR) และโครโมโซมวาย (Y-STR)

การตรวจ STR บนโครโมโซมวาย (Y-STR) ในชุดน้ำยาสำเร็จรูปของแต่ละบริษัท อาจจะมีจำนวนและตำแหน่งที่แตกต่างกันไป เช่นชุดน้ำยา Yfiler™ Plus PCR Amplification Kit (Applied Biosystems, USA) มี 25 ตำแหน่ง และชุดน้ำยา PowerPlex® Y23 System (Promega, USA) มี 22 ตำแหน่ง เป็นต้น ซึ่งประโยชน์ของการตรวจ Y-STR มีดังนี้ (ฤกษ์อำนาจโชค, 2561)

1. ใช้ตรวจความสัมพันธ์ญาติร่วมสายบิดาเดียวกัน
2. ใช้ตรวจทดสอบเพิ่มเติมกรณีการตรวจดีเอ็นเอบนออโตโซมมีข้อจำกัดบางประการ เช่น มีการกลาย (mutation)
3. ใช้ในคดีล่วงละเมิดทางเพศที่ตัวอย่างส่งตรวจมีการปะปนกันระหว่างดีเอ็นเอของเหยื่อผู้หญิงและผู้ต้องสงสัยผู้ชาย หรือมีดีเอ็นเอของผู้ชายน้อยเนื่องจากมีความจำเพาะกับดีเอ็นเอเพศชาย
4. ใช้ในคดีล่วงละเมิดทางเพศกรณีที่มีผู้ต้องสงสัยหลายคนร่วมกันในการก่อคดี (multiple rape case)

5. สามารถตรวจในพยานวัตถุที่สกัดดีเอ็นเอได้ในปริมาณน้อย เช่น เศษผิวหนังในชอกเล็บ คราบ น้ำลายบนผิวหนัง คราบน้ำอสุจิ

สำหรับความไว (sensitivity) ของการวิเคราะห์ Y-STR ด้วยชุดน้ำยา Yfiler™ Plus PCR Amplification Kit พบว่า ความเข้มข้นดีเอ็นเอตั้งต้นมากกว่าหรือเท่ากับ 0.25 นาโนกรัม จะสามารถวิเคราะห์ Y-STR ได้ทุกตำแหน่ง (full profile) และความเข้มข้นดีเอ็นเอตั้งต้นมากกว่า 0.031 นาโนกรัม จะสามารถวิเคราะห์ Y-STR ได้บางตำแหน่ง (partial profile) (Watahiki et al., 2017) และชุดน้ำยา PowerPlex® Y23 System พบว่า ความเข้มข้นดีเอ็นเอตั้งต้นมากกว่าหรือเท่ากับ 0.125 นาโนกรัม จะสามารถวิเคราะห์ Y-STR ได้ทุกตำแหน่ง (full profile) และความเข้มข้นดีเอ็นเอตั้งต้นมากกว่า 0.0312 นาโนกรัม จะสามารถวิเคราะห์ Y-STR ได้บางตำแหน่ง (partial profile) (Thompson et al., 2013)

2.5 การศึกษาการประยุกต์ใช้เทคนิค LAMP ในทางนิติวิทยาศาสตร์

1. การระบุเพศจากตัวอย่างเนื้อเยื่อในโพรงประสาทฟันโดยเทคนิคลูปมีดิเอเตดไอโซเทอร์มอล แอมพลิฟิเคชัน (Nogami et al., 2008)

งานวิจัยฉบับนี้ Nogami และคณะทำการศึกษานำเทคนิค LAMP มาประยุกต์ใช้ในการระบุเพศจากตัวอย่างเนื้อเยื่อในโพรงประสาทฟัน (dental pulp) จำนวน 32 ตัวอย่างที่สกัดดีเอ็นเอแล้วเก็บไว้ 1-25 ปี ที่อุณหภูมิตั้ง ซึ่งการศึกษานี้ได้ทำการออกแบบไพรเมอร์โดยมีบริเวณเป้าหมายบริเวณยีนออเมโลจีนินเอ็กซ์ และยีนออเมโลจีนินวาย จากนั้นนำไปทำปฏิกิริยา LAMP ที่อุณหภูมิ 63 องศาเซลเซียส

ผลการศึกษาพบว่าการระบุเพศของตัวอย่างเนื้อเยื่อในโพรงประสาทฟัน จำนวน 32 ตัวอย่างถูกต้องทั้งหมด และเวลาเฉลี่ยที่ใช้ในการทำปฏิกิริยาของชุดไพรเมอร์ Amel-X ชุดไพรเมอร์ Amel-X + loop ชุดไพรเมอร์ Amel-Y และชุดไพรเมอร์ Amel-Y + loop เท่ากับ 50.5 31.7 52.1 และ 33.5 นาทีตามลำดับ แสดงให้เห็นว่าการเติม Loop primer ช่วยเร่งการเกิดปฏิกิริยาได้เร็วขึ้น

2. การคัดกรองดีเอ็นเอเพศชายจากการเปลี่ยนสีด้วยเทคนิคลูปมีดิเอเตดไอโซเทอร์มอล แอมพลิฟิเคชัน (Scott et al., 2019)

งานวิจัยฉบับนี้ Scott และคณะทำการนำชุดไพรเมอร์ Amel-Y + loop จากการศึกษาของ Nogami และคณะ เปรียบเทียบกับไพรเมอร์ที่ได้ทำการออกแบบใหม่โดยใช้ตำแหน่งใกล้เคียงกันบนยีนออเมโลจีนินวาย โดยตั้งชื่อชุดไพรเมอร์ว่า ID50-82 ซึ่งไพรเมอร์ทั้งสองชุดมีความแตกต่างกันคือ

ชุดไพรเมอร์ของ Nogami และคณะมีการเติม loop forward primer เท่านั้น แต่ชุดไพรเมอร์ ID50-82 มีการเติมทั้ง loop forward primer และ loop backward primer

ผลการศึกษาพบว่าชุดไพรเมอร์ ID50-82 มีความไวสูงกว่าชุดไพรเมอร์ของ Nogami และคณะ โดยสามารถตรวจสอบดีเอ็นเอที่ความเข้มข้นตั้งแต่ 400 พิโคกรัม ภายในเวลา 30 นาที ซึ่งชุดไพรเมอร์ของ Nogami และคณะใช้เวลาถึง 45 นาที ดังนั้นจึงสามารถสรุปได้ว่าการเติม loop primer ทั้ง loop forward primer (LF) และ loop backward primer (LB) มีผลต่อการเร่งให้ปฏิกิริยาเกิดได้ไวขึ้น

3. การระบุของเหลวจากร่างกายมนุษย์ด้วยเทคนิคลูบมีดิเอเตดไอโซเทอร์มอลแอมพลิฟิเคชัน

(Jackson et al., 2020)

งานวิจัยฉบับนี้ Jackson และคณะนำเทคนิค RT-LAMP มาใช้ในการตรวจสอบเบื้องต้นในการจำแนกประเภทของตัวอย่างทางชีวภาพ ได้แก่ เลือด น้ำลาย อสุจิ และน้ำซบช่องคลอด โดยใช้เอ็มอาร์เอ็นเอ (mRNA) ที่สกัดจากตัวอย่างเพื่อหลีกเลี่ยงการใช้ดีเอ็นเอ ซึ่งทำให้ดีเอ็นเอที่สกัดจากตัวอย่างทั้งหมดสามารถใช้ในการตรวจสอบยืนยันในขั้นตอนถัดไปได้ โดยงานวิจัยนี้ออกแบบไพรเมอร์ที่จำเพาะของแต่ละของเหลว กล่าวคือ ออกแบบไพรเมอร์สำหรับตัวอย่างเลือดบริเวณยีน *Human B-globin (HBB)* ตัวอย่างน้ำลายบริเวณยีน *histatin-3 precursor (HTN3)* ตัวอย่างอสุจิบริเวณยีน *human semenogelin-1-precursor (SEMG1)* และตัวอย่างน้ำซบช่องคลอดบริเวณยีน *human beta-defensins (HBD-1)* จากนั้นนำไปทำปฏิกิริยา RT-LAMP ที่อุณหภูมิ 63 องศาเซลเซียส ที่ความเข้มข้นของแต่ละชนิดแตกต่างกัน เป็นเวลา 15, 30 และ 45 นาที

ผลจากการศึกษาพบว่าตัวอย่างเลือดมีความไวในการตรวจสอบมากที่สุดโดยสามารถตรวจสอบได้ที่ความเข้มข้นตั้งแต่ 312.5 pg/μl ภายในเวลา 30 นาที ตัวอย่างอสุจิสามารถตรวจสอบได้ที่ความเข้มข้น 1.25 ng/μl ภายในเวลา 45 นาที ตัวอย่างน้ำลายสามารถตรวจสอบได้ที่ความเข้มข้น 1.25 ng/μl ภายในเวลา 45 นาที และตัวอย่างน้ำซบช่องคลอดสามารถตรวจสอบได้ที่ความเข้มข้น 6.25 ng/μl ภายในเวลา 45 นาที ซึ่งแสดงให้เห็นว่าเทคนิค RT-LAMP มีความไวในการตรวจสอบสูง สามารถใช้ตรวจสอบในกรณีตัวอย่างมีความเข้มข้นของเอ็มอาร์เอ็นเอต่ำได้

ดังที่กล่าวมาข้างต้น จะเห็นว่าเทคนิคลูบมีดิเอเตดไอโซเทอร์มอลแอมพลิฟิเคชันมีความไวและความจำเพาะในการเกิดปฏิกิริยาสูง โดยใช้อุณหภูมิคงที่ตลอดการทำปฏิกิริยา จึงไม่ต้องการเครื่องมือที่ซับซ้อนในการทำงาน และสามารถใส่สารสีในการติดตามการเกิดปฏิกิริยาด้วยตาเปล่าได้

ดังนั้นงานวิจัยนี้จึงมีวัตถุประสงค์ที่จะศึกษาการนำเทคนิคลูปมีดิเอเตดไอโซเทอร์มอลแอมพลิฟิเคชัน
มาใช้ในกาตรวจสอบเบื้องต้นเพื่อตรวจหาดีเอ็นเอเพศชายจากวัตถุพยานในคดีข่มขืนกระทำชำเรา



บทที่ 3

วิธีดำเนินการวิจัย

3.1 เครื่องมือที่ใช้ในงานวิจัย

1. เครื่องเขย่าสาร (Vortex-Genie 2) (Scientific Industries, USA)
2. เครื่องนึ่งสำหรับฆ่าเชื้อด้วยแรงดันไอน้ำ (Autoclave)
3. เครื่องปั่นเหวี่ยงสาร (Microcentrifuge) (Eppendorf, Germany)
4. เครื่องเพิ่มปริมาณสารพันธุกรรม (Thermal cyclers) (Applied Biosystems, USA)
5. เครื่องวัดปริมาณสารพันธุกรรม Quantus™ Fluorometer (Promega, USA)
6. เครื่อง QIAxcel Advanced (Qiagen, Germany)
7. เครื่อง ThermoMixer (Eppendorf, Germany)
8. เครื่อง 3500 Genetic Analyzer (Applied Biosystems, USA)
9. ตู้ปลอดเชื้อ
10. ไมโครปีเปต (Eppendorf, Germany)

3.2 วัสดุอุปกรณ์ที่ใช้ในงานวิจัย

1. DynaMag™-2 Magnet (Invitrogen, USA)
2. Microcentrifuge tube 1.5 ml
3. PCR-COOLER TUBE RACK (Eppendorf, Germany)
4. PCR® Tube Racks
5. PCR tubes/ strip/ plate 0.2 ml
6. Pipette tip; 10 ul, 200 ul, 1000 ul
7. ถังมือยางพารา
8. ใบบิดผ้าตัด

3.3 สารเคมีที่ใช้ในงานวิจัย

1. สารเคมีสำหรับการสกัดดีเอ็นเอ และวัดความเข้มข้นดีเอ็นเอ
 - ชุดสกัดสำเร็จรูป PrepFiler® Forensic DNA Extraction Kit (Applied Biosystems, USA)
 - ชุดน้ำยา QuantiFluor® ONE dsDNA System (Promega, USA)
2. สารเคมีสำหรับการทดสอบความจำเพาะ
 - ดีเอ็นเอดีเอ็นเอหนูเม้าส์ (*Mus musculus* สายพันธุ์ ICR Swiss mice) (Merck, Germany)
 - ดีเอ็นเอหนูแรท (*Rattus norvegicus*) (Eurofins GeneScan, Germany)
 - ดีเอ็นเอหมู (*Sus scrofa domestica*) (Eurofins GeneScan, Germany)
3. สารเคมีสำหรับเทคนิคลูบมีดีเอเตดไอโซเทอร์มอลแอมพลิฟิเคชัน
 - ชุดน้ำยา WarmStart® Colorimetric LAMP 2X Master Mix with UDG (New England Biolabs, USA)
 - ไพรเมอร์ (Forward Primer, Backward Primer, Forward Inner Primer, Backward Inner Primer, Loop-forward Primer และ Loop-backward Primer)
4. สารเคมีสำหรับ QIAxcel
 - ชุดน้ำยา QIAxcel DNA High Resolution Kit (Qiagen, Germany)
5. สารเคมีสำหรับเทคนิค STR
 - ชุดน้ำยา Yfiler™ Plus PCR Amplification Kit (Applied Biosystems, USA)
 - ชุดน้ำยา PowerPlex® Y23 System (Promega, USA)

3.4 วิธีดำเนินการวิจัย

1. คั่นคว้าเอกสารและข้อมูลที่เกี่ยวข้อง

2. ตัวอย่างที่ใช้ในการทดลอง

ตัวอย่างที่ใช้ศึกษาคือตัวอย่างเยื่อบุกระพุ้งแก้มจากอาสาสมัครเพศชาย จำนวน 5 คน และเพศหญิง จำนวน 5 คน และตัวอย่างน้ำซึบช่องคลอดจากวัตถุพยานในการกระทำความผิดทางเพศ

จำนวน 92 ตัวอย่าง ประกอบด้วยตัวอย่างที่ได้รับการตรวจสอบโดยวิธีแอสซิดฟอสฟาเตส และการตรวจด้วยกล้องจุลทรรศน์ได้ผลบวกทั้งสองวิธี จำนวน 12 ตัวอย่าง การตรวจสอบโดยวิธีแอสซิดฟอสฟาเตสได้ผลบวก ในขณะที่การตรวจด้วยกล้องจุลทรรศน์ได้ผลลบ จำนวน 48 ตัวอย่าง การตรวจสอบโดยวิธีแอสซิดฟอสฟาเตสได้ผลลบ ในขณะที่การตรวจด้วยกล้องจุลทรรศน์ได้ผลบวก จำนวน 4 ตัวอย่าง และการตรวจสอบโดยวิธีแอสซิดฟอสฟาเตส และการตรวจด้วยกล้องจุลทรรศน์ได้ผลลบทั้งสองวิธี จำนวน 28 ตัวอย่าง ดังตารางที่ 3 โดยตัวอย่างทั้งหมดได้รับจากห้องปฏิบัติการหน่วยเขโรวิทยาและดีเอ็นเอ ภาควิชานิติเวชศาสตร์ โรงพยาบาลจุฬาลงกรณ์ สภากาชาดไทย ระหว่างเดือนธันวาคม พ.ศ. 2563 ถึงเดือนพฤศจิกายน พ.ศ. 2564 ซึ่งตัวอย่างที่ใช้ในการศึกษาได้รับอนุมัติจากคณะกรรมการพิจารณาจริยธรรมการวิจัยในมนุษย์ คณะแพทยศาสตร์ จุฬาลงกรณ์มหาวิทยาลัย (IRB No. 115/64)

ตารางที่ 3 ตัวอย่างน้ำซบช่องคลอดจากวัตถุพยานที่ได้รับการตรวจสอบผลโดยวิธีแอสซิดฟอสฟาเตส และการตรวจด้วยกล้องจุลทรรศน์ จำนวน 92 ตัวอย่าง (+ = ตรวจพบ, - = ตรวจไม่พบ)

การทดสอบแอสซิดฟอสฟาเตส	การส่องกล้องจุลทรรศน์	ทั้งหมด (92 ตัวอย่าง)
+	+	12
	-	48
-	+	4
	-	28

3. การออกแบบไพรเมอร์สำหรับเทคนิคลูปมีดิเอเตดไอโซเทอร์มอลแอมพลิฟิเคชัน

ออกแบบไพรเมอร์ที่จำเพาะเจาะจงต่อลำดับนิวคลีโอไทด์ของยีนอเมโลจีนิโนวาย (NG_008011.1) โดยใช้โปรแกรม LAMP Designer 1.16 (<http://www.optigene.co.uk/lamp-designer/>) ซึ่งกำหนดพารามิเตอร์ดังนี้ ความยาว : 18-22 นิวคลีโอไทด์ ค่า Tm ของไพรเมอร์ F1c และ B1c : 65 ± 2 องศาเซลเซียส ค่า Tm ของไพรเมอร์ F3 F2 B3 และ B2 : 60 ± 2 องศาเซลเซียส ค่า Tm ของไพรเมอร์ LF และ LB : 62 ± 2 องศาเซลเซียส ระยะห่างระหว่างปลาย 5' ของ F2 และ B2 : 120-180 นิวคลีโอไทด์ ระยะห่างระหว่างปลาย 5' ของ F2/B2 และ F1c/B1c : 40-60 นิวคลีโอไทด์ ระยะห่างระหว่างปลาย 3' ของ F3/B3 และปลาย 5' ของ F2/B2 : 0-60 นิวคลีโอไทด์ และ %GC : 40-65

4. การสกัดดีเอ็นเอ

นำตัวอย่างเยื่อบุกระพุ้งแก้มของอาสาสมัครทั้งเพศชายและเพศหญิง รวมถึงตัวอย่างน้ำซบช่องคลอดจากวัตถุพยานมาสกัดดีเอ็นเอด้วยชุดน้ำยาสำเร็จรูป PrepFiler Forensic DNA Extraction (Applied Biosystems, USA) จากนั้นนำดีเอ็นเอปริมาตร 2 ไมโครลิตร มาวัดความเข้มข้นของดีเอ็นเอด้วยชุดน้ำยา QuantiFluor® ONE dsDNA System (Promega, USA) และเก็บหลอดทดลองที่บรรจุดีเอ็นเอไว้ในตู้เย็นที่อุณหภูมิ -20 องศาเซลเซียส

5. การตรวจสอบการปรากฏของสารพันธุกรรมในตำแหน่งเมโลจีนินวายด้วยเทคนิคลูปมิติเอเตดไอโซเทอร์มอลแอมพลิฟิเคชัน

ตรวจสอบตำแหน่งเครื่องหมายพันธุกรรมเมโลจีนินวายด้วยเทคนิคลูปมิติเอเตดไอโซเทอร์มอลแอมพลิฟิเคชันกับดีเอ็นเอจากเยื่อบุกระพุ้งแก้มด้วยชุดน้ำยา WarmStart® Colorimetric LAMP 2X Master Mix with UDG (New England Biolabs, USA) ซึ่งจะทำการปรับสภาวะของการทำปฏิกิริยาจนได้สภาวะและอุณหภูมิที่เหมาะสมในการทำปฏิกิริยา ผลจากการตรวจสอบด้วยสารสีฟีนอลเรดพบว่าดีเอ็นเอจากเพศชายจะเปลี่ยนจากสีชมพูเป็นสีเหลือง ส่วนดีเอ็นเอเพศหญิงจะไม่มี การเปลี่ยนสี (สีชมพู) และผลจากเครื่อง QIAxcel จะพบแถบดีเอ็นเอในตัวอย่างเพศชาย และไม่พบ แถบดังกล่าวในตัวอย่างจากเพศหญิง

6. การทดสอบความไวของเทคนิคลูปมิติเอเตดไอโซเทอร์มอลแอมพลิฟิเคชัน

6.1 เตรียมตัวอย่างดีเอ็นเอของเพศชายจากเยื่อบุกระพุ้งแก้ม ที่ปริมาณดีเอ็นเอ 1, 0.1, 0.01 และ 0.001 นาโนกรัม

6.2 เพิ่มปริมาณดีเอ็นเอตำแหน่งเครื่องหมายพันธุกรรมเมโลจีนินวายด้วยเทคนิคลูปมิติเอเตดไอโซเทอร์มอลแอมพลิฟิเคชัน โดยใช้ชุดน้ำยา WarmStart® Colorimetric LAMP 2X Master Mix with UDG (New England Biolabs, USA) จากตัวอย่างในข้อ 6.1 อย่างละ 3 ซ้ำ เป็นเวลา 30 และ 45 นาที ตามลำดับ

6.3 ตรวจสอบผลการเพิ่มปริมาณดีเอ็นเอด้วยสารสีฟีนอลเรด และเครื่อง QIAxcel (Qiagen, 2017)

7. การทดสอบความจำเพาะของเทคนิคลูปมิติเอเตดไอโซเทอร์มอลแอมพลิฟิเคชัน

7.1 เตรียมตัวอย่างดีเอ็นเอหนูเม้าส์ (*Mus musculus* สายพันธุ์ ICR Swiss mice) ดีเอ็นเอหนูแรด (*Rattus norvegicus*) ดีเอ็นเอหมู (*Sus scrofa domestica*) ดีเอ็นเอมนุษย์เพศชาย และดีเอ็นเอมนุษย์เพศหญิง

7.2 เพิ่มปริมาณดีเอ็นเอตำแหน่งเครื่องหมายพันธุกรรมอเมโลจีนินวายด้วยเทคนิคลูปมีดิเอเตดไอโซเทอร์มอลแอมพลิฟิเคชัน โดยใช้ชุดน้ำยา WarmStart® Colorimetric LAMP 2X Master Mix with UDG (New England Biolabs, USA) จากตัวอย่างในข้อ 7.1 อย่างละ 3 ซ้ำ

7.3 ตรวจสอบผลการเพิ่มปริมาณดีเอ็นเอด้วยสารสีฟินอลเรด และเครื่อง QIAxcel

8. การทดสอบแบบอำพราง (blind test)

8.1 เตรียมตัวอย่างของเหลว ได้แก่ เลือดและน้ำลายจากเพศชายและหญิง และน้ำอสุจิจากเพศชาย ด้วยอัตราส่วนต่าง ๆ

8.2 เตรียมหลอดทดลอง 10 หลอด โดยให้นักวิจัยอีกท่านทำการหยดของเหลวในร่างกายจากข้อ 8.1 ลงในหลอดทดลอง โดยที่ผู้วิจัยไม่ทราบส่วนประกอบของของเหลวในแต่ละหลอด

8.3 ผู้วิจัยนำหลอดทดลองทั้ง 10 หลอดมาทำการสกัดและเพิ่มปริมาณดีเอ็นเอด้วยเทคนิคลูปมีดิเอเตดไอโซเทอร์มอลแอมพลิฟิเคชัน โดยใช้ชุดน้ำยา WarmStart® Colorimetric LAMP 2X Master Mix with UDG (New England Biolabs, USA) แล้วนำมาตรวจสอบผลด้วยสารสีฟินอลเรด และเครื่อง QIAxcel จากนั้นจึงทายผลว่าในแต่ละหลอดมีดีเอ็นเอเพศชายหรือไม่

9. การทดสอบการปรากฏของสารพันธุกรรมในตำแหน่งอเมโลจีนินวายจากตัวอย่างน้ำซบช่องคลอดด้วยเทคนิคลูปมีดิเอเตดไอโซเทอร์มอลแอมพลิฟิเคชัน

9.1 เตรียมตัวอย่างดีเอ็นเอน้ำซบช่องคลอดจากวัตถุดิบ จำนวน 92 ตัวอย่าง

9.2 เพิ่มปริมาณดีเอ็นเอตำแหน่งเครื่องหมายพันธุกรรมอเมโลจีนินวายด้วยเทคนิคลูปมีดิเอเตดไอโซเทอร์มอลแอมพลิฟิเคชันโดยใช้ชุดน้ำยา WarmStart® Colorimetric LAMP 2X Master Mix with UDG (New England Biolabs, USA) เป็นเวลา 30 ถึง 45 นาที กล่าวคือถ้าที่เวลา 30 นาทีหลังทำปฏิกิริยา พบตัวอย่างที่มีการเปลี่ยนสีจากสีชมพูไปเป็นสีส้ม (transition color) จะให้ปฏิกิริยาดำเนินต่อไปจนถึง 45 นาทีแล้วอ่านผล

9.3 ตรวจสอบผลการเพิ่มปริมาณดีเอ็นเอด้วยสารสีฟินอลเรด และเครื่อง QIAxcel

10. การทดสอบการปรากฏของสารพันธุกรรมในตำแหน่งอเมโลจีนินวายจากตัวอย่างน้ำซบช่องคลอดด้วยการวิเคราะห์ Y-STR (เพื่อยืนยันความถูกต้องของเทคนิค LAMP)

10.1 นำตัวอย่างดีเอ็นเอจากข้อ 9.1 มาเพิ่มปริมาณดีเอ็นเอด้วยเทคนิค STR โดยใช้ชุดน้ำยา Yfiler™ Plus PCR Amplification Kit (Applied Biosystems, USA) หรือ PowerPlex® Y23 System (Promega, USA)

10.2 ตรวจสอบผล โดยใช้โปรแกรม GeneMapper™ ID-X (Applied Biosystems, USA)

11. วิเคราะห์ข้อมูลทางสถิติ

11.1 ตรวจสอบประสิทธิภาพการตรวจหาดีเอ็นเอเพศชายโดยชุดน้ำยาแอสิดฟอสฟาเตส การส่องกล้องจุลทรรศน์ และเทคนิค LAMP ตามลำดับ โดยคำนวณค่าดัชนี 5 ดัชนี คือ sensitivity specificity PPV NPV และ accuracy ซึ่งใช้ผลจากการวิเคราะห์ Y-STR ในการอ้างอิง

11.2 เปรียบเทียบความสัมพันธ์ระหว่างการตรวจหาดีเอ็นเอเพศชายโดยชุดน้ำยาแอสิดฟอสฟาเตส การส่องกล้องจุลทรรศน์ และเทคนิค LAMP เทียบกับผลการวิเคราะห์ STR โดยการทดสอบไคสแควร์ (Chi square test) ในตารางการจรแบบ 2x2 (2x2 Tables) เพื่อทดสอบความสอดคล้องระหว่างข้อมูล 2 กลุ่ม

12. สรุปผลและเขียนรายงาน



บทที่ 4

ผลการทดลอง

4.1 การออกแบบไพรเมอร์สำหรับเทคนิคคลอปีดีเอเตดไอโซเทอร์มอลแอมพลิฟิเคชัน

ผลการออกแบบไพรเมอร์ที่จำเพาะเจาะจงต่อลำดับนิวคลีโอไทด์ของยีนอเมโลจินินวาย โดยใช้โปรแกรม LAMP Designer 1.16 แสดงดังตารางที่ 4 ไพรเมอร์ดังกล่าวจะจับเข้ากับยีนอเมโลจินินวาย ดังรูปที่ 9 ซึ่งมีบางนิวคลีโอไทด์ที่แตกต่างกับยีนอเมโลจินินเอ็กซ์ และบางบริเวณยีนอเมโลจินินเอ็กซ์เกิดการขาดหาย (deletion) แสดงให้เห็นว่าชุดไพรเมอร์มีความจำเพาะกับดีเอ็นเอมนุษย์เพศชาย

ตารางที่ 4 ลำดับนิวคลีโอไทด์ของไพรเมอร์ทั้ง 6 ไพรเมอร์ที่จำเพาะเจาะจงต่อยีนอเมโลจินินวาย

ไพรเมอร์	ลำดับนิวคลีโอไทด์ (5' → 3')
Forward primer (F3)	CAGTGGCTTAAGGTATGGTTAT
Backward primer (B3)	GGACCTGAGAATCCACCT
Forward inner primer (FIP)	TGATGGCTATGAACAGGGATGCGATACCAGGTAGGTTAATGCC
Backward inner primer (BIP)	ACAGGCACCAATGTTACTGGGCTCTCACTACCAGTGTCTA
Loop-forward primer (LF)	TTGATGTACCACTGCTACTGG
Loop-backward primer (LB)	ATTCTTGACCCTGGACG

AMELY	TGATTGCT CAGTGGCTTAAGGTATGGTTAT TAGTTGACGTTATGGTGAAGTTTTTCTGG	1216
AMELX	GAATGCTATTTGTGCCATAATCGATTTGAACCAGCCCGCTATTGGTAGACATTTTGTTT	1276
	* * * * *	
AMELY	GGACTGT GATACCAGGTAGGTTAATGCC CCAGTAGCAGTGGTACATCAAGCATCCCTGT	1276
AMELX	TAAATGTTACTTCATA-----GGCCAGGCAGTGGCTCATGC-----CTGTAA	1320
	* *	
AMELY	TCATAGCCATCAAT GACGCTTAA ACAGGCACCAATGTTACTGGG TCCTGGAAAGTCA ATT	1336
AMELX	TCCCAGCACTTTGGGAGGCCGAGGCAGGCA-----GATCATGAGGTCAGGAGATGGAGAC	1375
	* *	
AMELY	CTTGACCCTGGACG GCTTGTT TAGACACTGGTAGTGAGAGCAAT GATCTGGGTGGCTA	1396
AMELX	CATC-----CTGGACAACATGGTGAAACCCCGTCTCTACTAAAAATATAAAAAATAAGCTG	1430
	* *	
AMELY	GGTGGATTCTCAGGTC CCCGTCCAGCTGGTATGATATATGTTATAGCAGTACCAGTGGTG	1456
AMELX	GGCATGGTGGCATGTGCCTGTAATCC-----	1456
	* *	

รูปที่ 9 ลำดับนิวคลีโอไทด์ของไพรเมอร์จับกับยีนอเมโลจินินวายเทียบกับยีนอเมโลจินินเอ็กซ์

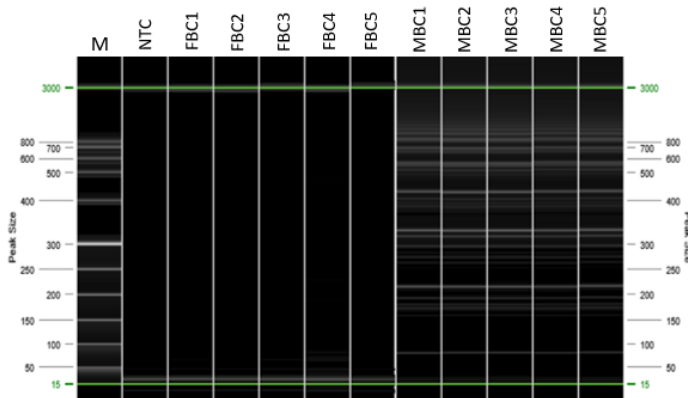
(ไพรเมอร์ F3: สีนํ้าเงิน ไพรเมอร์ FIP: สีเขียว ไพรเมอร์ LF: สีแดง ไพรเมอร์ BIP: สีม่วง ไพรเมอร์ LB: สีแดงเข้ม และไพรเมอร์ B3: สีส้ม)

4.2 การตรวจสอบการปรากฏของสารพันธุกรรมในตำแหน่งอเมโลจีนิวายจากตัวอย่างเยื่อกระดูกฟุ้งแถมจากอาสาสมัครเพศชายและเพศหญิงด้วยเทคนิคลูบมีดิเอเตดไอโซเทอร์มอลแอมพลิฟิเคชัน

จากการนำตัวอย่างเยื่อกระดูกฟุ้งแถมของอาสาสมัครทั้งเพศชาย และเพศหญิงมาสกัดดีเอ็นเอ และวัดความเข้มข้นของดีเอ็นเอ จากนั้นนำไปตรวจสอบการปรากฏของสารพันธุกรรมในตำแหน่งอเมโลจีนิวายด้วยเทคนิคลูบมีดิเอเตดไอโซเทอร์มอลแอมพลิฟิเคชันที่อุณหภูมิ 65 องศาเซลเซียส เป็นเวลา 30 นาที พบว่าสามารถสังเกตเห็นการเปลี่ยนสีจากสีชมพูเป็นสีเหลืองในตัวอย่างดีเอ็นเอจากเพศชาย และไม่มีการเปลี่ยนสีจากสีเหลืองในตัวอย่างดีเอ็นเอจากเพศหญิง ดังรูปที่ 10 นอกจากนี้ผลจากเครื่อง QIAxcel จะพบแถบดีเอ็นเอในตัวอย่างเพศชาย และไม่พบแถบดังกล่าวในตัวอย่างจากเพศหญิง ซึ่งผลจากเครื่อง QIAxcel จะแสดงถึงความถูกต้องของสารดีเอ็นเอที่สามารถสังเกตเห็นผลได้ด้วยตาเปล่า ดังรูปที่ 11



รูปที่ 10 ผลของสารดีเอ็นเอหลังจากการทำปฏิกิริยา LAMP ที่อุณหภูมิ 65 องศาเซลเซียส เป็นเวลา 30 นาที (NTC: ตัวควบคุมผลลบ FBC1-5: ตัวอย่างเยื่อกระดูกฟุ้งแถมของอาสาสมัครเพศหญิง และ MBC1-5: ตัวอย่างเยื่อกระดูกฟุ้งแถมของอาสาสมัครเพศชาย)



รูปที่ 11 ผลของการรันเจลโดยเครื่อง QIAxcel หลังจากการทำปฏิกิริยา LAMP ที่อุณหภูมิ 65 องศาเซลเซียส เป็นเวลา 30 นาที (NTC: ตัวควบคุมผลลบ FBC1-5: ตัวอย่างเยื่อกระดูกฟุ้งแถมของอาสาสมัครเพศหญิง และ MBC1-5: ตัวอย่างเยื่อกระดูกฟุ้งแถมของอาสาสมัครเพศชาย)

4.3 การทดสอบความไวของเทคนิคลูปมีติเอเตดไอโซเทอร์มอลแอมพลิฟิเคชัน

จากการนำตัวอย่างดีเอ็นเอของเพศชายจากเยื่อบุกระพุ้งแก้มมาเจือจางให้ได้ปริมาณดีเอ็นเอ 1, 0.1, 0.01 และ 0.001 นาโนกรัม อย่างละ 3 ซ้ำ (#1-3) และนำไปตรวจสอบการปรากฏของสารพันธุกรรมในตำแหน่งอเมโลจีนินวายด้วยเทคนิคลูปมีติเอเตดไอโซเทอร์มอลแอมพลิฟิเคชันที่อุณหภูมิ 65 องศาเซลเซียส เป็นเวลา 30 และ 45 นาที พบว่าความไวของชุดไพรเมอร์จากการศึกษาข้างต้นเท่ากับ 0.1 นาโนกรัม ที่เวลา 30 นาที ซึ่งแสดงผลบวกทั้ง 3 ซ้ำ สำหรับการดูผลด้วยตาเปล่าจากการเปลี่ยนสีของสารสีฟินอลเรดแสดงดังตารางที่ 5 และสำหรับผลเจลจากเครื่อง QIAxcel ให้ผลตรงกับ การเปลี่ยนสีของสารสีฟินอลเรด

ตารางที่ 5 ผลการทดสอบความไวของเทคนิคลูปมีติเอเตดไอโซเทอร์มอลแอมพลิฟิเคชันและชุดไพรเมอร์จากการออกแบบข้างต้น (สีเหลือง = ตรวจพบ สีส้ม = สี Transition และสีชมพู = ตรวจไม่พบ)

ความเข้มข้นดีเอ็นเอ	เวลาในการทำปฏิกิริยา (นาที)	
	30	45
1 นาโนกรัม	#1	#1
	#2	#2
	#3	#3
0.1 นาโนกรัม	#1	#1
	#2	#2
	#3	#3
0.01 นาโนกรัม	#1	#1
	#2	#2
	#3	#3
0.001 นาโนกรัม	#1	#1
	#2	#2
	#3	#3
ตัวควบคุมผลลบ	#1	#1
	#2	#2
	#3	#3

4.4 การทดสอบความจำเพาะของเทคนิคลูปมีดิเอเตดไอโซเทอร์มอลแอมพลิฟิเคชัน

จากการนำตัวอย่างดีเอ็นเอหนูเม้าส์ (*Mus musculus* สายพันธุ์ ICR Swiss mice) ดีเอ็นเอหนูแรท (*Rattus norvegicus*) ดีเอ็นเอหมู (*Sus scrofa domestica*) ดีเอ็นเอมนุษย์เพศชาย และดีเอ็นเอมนุษย์เพศหญิง ที่มีความเข้มข้น 5 นาโนกรัม จำนวนอย่างละ 3 ซ้ำ และนำไปตรวจสอบการปรากฏของสารพันธุกรรมในตำแหน่งอเมโลจีนินวายด้วยเทคนิคลูปมีดิเอเตดไอโซเทอร์มอลแอมพลิฟิเคชันที่อุณหภูมิ 65 องศาเซลเซียส เป็นเวลา 45 นาที พบว่าชุดไพรเมอร์จากการศึกษาข้างต้นมีความจำเพาะสูง เนื่องจากผลการศึกษาพบผลบวกเฉพาะตัวอย่างดีเอ็นเอจากมนุษย์เพศชายเท่านั้น โดยตัวอย่างอื่นให้ผลลบทั้งหมด แสดงผลการเปลี่ยนสีของสารสีฟีนอลเรดดังรูปที่ 12 และสำหรับผลเจลาจากเครื่อง QIAxcel ให้ผลตรงกับผลการเปลี่ยนสีของสารสีฟีนอลเรด



รูปที่ 12 ผลการทดสอบความจำเพาะของเทคนิคลูปมีดิเอเตดไอโซเทอร์มอลแอมพลิฟิเคชันและชุดไพรเมอร์ในหนูเม้าส์ (*Mus musculus*) หนูแรท (*Rattus norvegicus*) หมู (*Sus scrofa domestica*) และมนุษย์เพศหญิง (female) เทียบกับมนุษย์เพศชาย (male) และชุดควบคุมลบ (NTC)

จุฬาลงกรณ์มหาวิทยาลัย
CHULALONGKORN UNIVERSITY

4.5 การทดสอบแบบอำพราง (blind test)

จากการนำตัวอย่างของเหลว ได้แก่ เลือด และน้ำลายจากเพศชายและหญิง และน้ำอสุจิจากเพศชาย และให้นักวิจัยท่านอื่นทำการผสมของเหลวลงในหลอดทดลอง โดยที่ผู้วิจัยไม่ทราบส่วนประกอบของของเหลวในแต่ละหลอดทั้งหมด 10 หลอด จากนั้นผู้วิจัยทำการทดสอบและวิเคราะห์ผลว่าในแต่ละหลอดมีดีเอ็นเอเพศชายหรือไม่ พบว่าผู้วิจัยสามารถระบุหลอดที่มีส่วนผสมของดีเอ็นเอเพศชายได้ถูกต้องทั้งหมด ดังตารางที่ 6 ซึ่งผลจากการเปลี่ยนสีของฟีนอลเรดและผลเจลาจากเครื่อง QIAxcel ให้ผลตรงกัน

ตารางที่ 6 ผลการทดสอบแบบอำพราง (blind test) (สีเหลือง = ตรวจพบ สีชมพู = ตรวจไม่พบ และเครื่องหมาย ✓ คือผลการวิเคราะห์ถูกต้อง)

ตัวอย่าง	เพศชาย (ไมโครลิตร)			เพศหญิง (ไมโครลิตร)		อัตราส่วน (เพศชาย : เพศหญิง)	ผล LAMP
	เลือด	น้ำอสุจิ	น้ำลาย	เลือด	น้ำลาย		
1			10		20	1 : 2	✓
2		10		20		1 : 2	✓
3				10		0 : 1	✓
4		30			20	3 : 2	✓
5	10			40		1 : 4	✓
6		10			10	1 : 1	✓
7	10				10	1 : 1	✓
8			20		10	2 : 1	✓
9					10	0 : 1	✓
10		10		20		1 : 2	✓

4.6 การทดสอบการปรากฏของสารพันธุกรรมในตำแหน่งอเมโลจีนินวายจากตัวอย่างน้ำซึบช่องคลอดด้วยเทคนิคลูปมีดิเอเตดไอโซเทอร์มอลแอมพลิฟิเคชัน และการวิเคราะห์ Y-STR (เพื่อยืนยันความถูกต้องของเทคนิค LAMP)

จากการนำตัวอย่างดีเอ็นเอจากน้ำซึบช่องคลอดจากวัตถุพยานในคดีข่มขืนกระทำชำเรา จำนวน 92 ตัวอย่าง ที่ผ่านการทดสอบเอนไซม์แอสิดฟอสฟาเตส และการส่องกล้องจุลทรรศน์ มาตรวจหาดีเอ็นเอเพศชายด้วยเทคนิค LAMP เปรียบเทียบกับผลการวิเคราะห์ Y-STR ดังตารางที่ 7 พบว่าการตรวจสอบเอนไซม์แอสิดฟอสฟาเตสให้ผลบวกเทียมจำนวน 32 ตัวอย่าง และผลลบเทียมจำนวน 7 ตัวอย่าง การตรวจสอบด้วยกล้องจุลทรรศน์ให้ผลลบเทียมจำนวน 19 ตัวอย่าง และการตรวจสอบด้วยเทคนิค LAMP มีความผิดพลาดในการตรวจสอบน้อยที่สุดโดยมีเพียงผลลบเทียมจำนวน 2 ตัวอย่าง

ตารางที่ 7 จำนวนตัวอย่างของผลการตรวจสอบด้วยวิธีแอสซิดฟอสฟาเตส (AP) การตรวจด้วยกล้องจุลทรรศน์ (ME) เทคนิคคลูบมีดีเอเตดไอโซเทอร์มอลแอมพลิฟิเคชัน (LAMP) และการวิเคราะห์ Y-STR

	ทั้งหมด (92 ตัวอย่าง)	การวิเคราะห์ Y-STR	
		ตรวจพบ	ตรวจไม่พบ
AP+, ME+, LAMP+	12	12	0
AP+, ME-, LAMP+	14	14	0
AP+, ME-, LAMP-	34	2	32
AP-, ME+, LAMP+	4	4	0
AP-, ME-, LAMP+	2	2	0
AP-, ME-, LAMP-	26	1	25

4.7 วิเคราะห์ข้อมูลทางสถิติ

4.7.1 ประสิทธิภาพในการตรวจหาสิ่งที่เกี่ยวข้องกับเพศชายโดยชุดน้ำยาแอสซิดฟอสฟาเตส การส่องกล้องจุลทรรศน์ และเทคนิคคลูบมีดีเอเตดไอโซเทอร์มอลแอมพลิฟิเคชัน

จากการคำนวณค่าดัชนีเพื่อวัดประสิทธิภาพในการตรวจหาสิ่งที่เกี่ยวข้องกับเพศชาย 5 ดัชนี ได้แก่ sensitivity specificity positive predictive value (PPV) negative predictive value (NPV) และ accuracy ของการตรวจด้วยเอนไซม์แอสซิดฟอสฟาเตส ดังตารางที่ 8 การส่องกล้องจุลทรรศน์ ดังตารางที่ 9 และเทคนิค LAMP ดังตารางที่ 10

จุฬาลงกรณ์มหาวิทยาลัย

ตารางที่ 8 ประสิทธิภาพในการตรวจหาสารคัดหลั่งเพศชายด้วยวิธีแอสซิดฟอสฟาเตส

	Y-STR (+)	Y-STR (-)	ทั้งหมด	ประสิทธิภาพ
การทดสอบแอสซิดฟอสฟาเตส (+)	28	32	60	Sensitivity 80% PPV 46.7%
การทดสอบแอสซิดฟอสฟาเตส (-)	7	25	32	Specificity 43.9% NPV 78.1%
ทั้งหมด	35	57	92	Accuracy 57.6%

ตารางที่ 9 ประสิทธิภาพในการตรวจหาอสุจิด้วยการส่องกล้องจุลทรรศน์

	Y-STR (+)	Y-STR (-)	ทั้งหมด	ประสิทธิภาพ
การส่องกล้องจุลทรรศน์ (+)	16	0	16	Sensitivity 45.7% PPV 100% Specificity 100% NPV 75% Accuracy 79.3%
การส่องกล้องจุลทรรศน์ (-)	19	57	76	
ทั้งหมด	35	57	92	

ตารางที่ 10 ประสิทธิภาพในการตรวจหาดีเอ็นเอเพศชายด้วยเทคนิค LAMP

	Y-STR (+)	Y-STR (-)	ทั้งหมด	ประสิทธิภาพ
เทคนิค LAMP (+)	32	0	32	Sensitivity 91.4% PPV 100% Specificity 100% NPV 95% Accuracy 96.7%
เทคนิค LAMP (-)	3	57	60	
ทั้งหมด	35	57	92	

4.7.2 การทดสอบไคสแควร์

การทดสอบไคสแควร์เพื่อหาความสัมพันธ์กันของผลการตรวจหาสิ่งที่เกี่ยวข้องกับเพศชาย ด้วยวิธีแอสิดฟอสฟาเตส ดังตารางที่ 11 การส่องกล้องจุลทรรศน์ ดังตารางที่ 12 และเทคนิค LAMP ดังตารางที่ 13 โดยนำผลการเปรียบเทียบกับผลการวิเคราะห์ Y-STR

สมมติฐานในการทดสอบไคสแควร์

H_0 : ข้อมูลทั้ง 2 ชุด ไม่มีความสัมพันธ์กัน

H_1 : ข้อมูลทั้ง 2 ชุด มีความสัมพันธ์กัน

ตารางที่ 11 ผลการวิเคราะห์ไคสแควร์ระหว่างการตรวจหาสารคัดหลั่งเพศชายด้วยวิธีแอสิด
ฟอสฟาเตส (AP) กับการวิเคราะห์ Y-STR

ผลการตรวจสอบ	Observed frequency (O)	Expected frequency (E)	(O-E) ² /E
AP+, STR+	28	22.83	1.17
AP+, STR-	32	37.17	0.72
AP-, STR+	7	12.17	2.20
AP-, STR-	25	19.83	1.35
ทั้งหมด			$\chi^2 = 5.44$

จากการทดสอบนัยสำคัญ โดยมีระดับความอิสระ (Degree of freedom: df) ที่ $df = (2-1)(2-1) = 1$ ซึ่งค่าวิกฤตจากตารางไคสแควร์ที่ระดับนัยสำคัญ 0.01 และ $df = 1$ มีค่าเท่ากับ 6.635 ซึ่งมีค่ามากกว่าค่าที่คำนวณได้ (5.44) จึงยอมรับ H_0 และปฏิเสธ H_1 คือ การตรวจสอบด้วยวิธีแอสิดฟอสฟาเตสไม่มีความสัมพันธ์กับการวิเคราะห์ Y-STR

ตารางที่ 12 ผลการวิเคราะห์ไคสแควร์ระหว่างการตรวจหาอสุจิด้วยการส่องกล้องจุลทรรศน์ (ME)
กับการวิเคราะห์ Y-STR

ผลการตรวจสอบ	Observed frequency (O)	Expected frequency (E)	(O-E) ² /E
ME+, STR+	16	6.01	16.14
ME+, STR-	0	9.91	9.91
ME-, STR+	19	28.91	3.40
ME-, STR-	57	47.09	2.09
ทั้งหมด			$\chi^2 = 31.54$

จากการทดสอบนัยสำคัญ โดยมีระดับความอิสระ (Degree of freedom: df) ที่ $df = (2-1)(2-1) = 1$ ซึ่งค่าวิกฤตจากตารางไคสแควร์ที่ระดับนัยสำคัญ 0.01 และ $df = 1$ มีค่าเท่ากับ 6.635

ซึ่งมีค่าน้อยกว่าค่าที่คำนวณได้ (31.54) จึงปฏิเสธ H_0 และยอมรับ H_1 คือ การตรวจสอบด้วยการส่องกล้องจุลทรรศน์มีความสัมพันธ์กับการวิเคราะห์ Y-STR

ตารางที่ 13 ผลการวิเคราะห์ไคสแควร์ระหว่างการตรวจหาดีเอ็นเอเพศชายด้วยเทคนิค LAMP กับ การวิเคราะห์ Y-STR

ผลการตรวจสอบ	Observed frequency (O)	Expected frequency (E)	(O-E) ² /E
LAMP+, STR +	32	12.17	32.29
LAMP+, STR -	0	19.83	19.83
LAMP-, STR +	3	22.83	17.22
LAMP-, STR -	57	37.17	10.57
ทั้งหมด			$\chi^2 = 79.91$

จากการทดสอบนัยสำคัญ โดยมีระดับความอิสระ (Degree of freedom: df) ที่ $df = (2-1)(2-1) = 1$ ซึ่งค่าวิกฤตจากตารางไคสแควร์ที่ระดับนัยสำคัญ 0.01 และ $df = 1$ มีค่าเท่ากับ 6.635 ซึ่งมีค่าน้อยกว่าค่าที่คำนวณได้ (79.91) จึงปฏิเสธ H_0 และยอมรับ H_1 คือ การตรวจสอบด้วยเทคนิค LAMP ความสัมพันธ์กับการวิเคราะห์ Y-STR

ผลจากการทดสอบไคสแควร์จากตารางที่ 11-13 พบว่าการตรวจสอบสิ่งที่เกี่ยวข้องกับเพศชายด้วยวิธีแอสิดฟอสฟาเตสไม่มีความสัมพันธ์กับการวิเคราะห์ Y-STR แสดงให้เห็นว่าการตรวจสอบด้วยวิธีแอสิดฟอสฟาเตสมีโอกาสให้ผลที่ผิดพลาดสูงกว่าการส่องกล้องจุลทรรศน์และเทคนิค LAMP

บทที่ 5

อภิปรายผล สรุปผลการวิจัย และข้อเสนอแนะ

5.1 อภิปรายผลการวิจัย

5.1.1 ความไวของเทคนิค LAMP

การทดสอบความไวในการเกิดปฏิกิริยาของเทคนิค LAMP ได้นำตัวอย่างดีเอ็นเอเพศชายจากเยื่อบุกระพุ้งแก้มมาเจือจางให้ได้ความเข้มข้นของดีเอ็นเอ 1, 0.1, 0.01 และ 0.001 นาโนกรัม ผลจากการตรวจหาดีเอ็นเอเพศชายที่ความเข้มข้นดังกล่าวด้วยเทคนิค LAMP จากผลการทดลองสามารถตรวจหาดีเอ็นเอเพศชายที่ความเข้มข้น 0.1 นาโนกรัม ได้ทั้งสามซ้ำ เมื่อตรวจหาดีเอ็นเอเพศชายที่ความเข้มข้นของดีเอ็นเอ 0.01 นาโนกรัม พบว่าที่เวลา 30 นาที สามารถตรวจพบดีเอ็นเอเพศชายได้ 2 จาก 3 ตัวอย่าง แต่ที่เวลา 45 นาที สามารถตรวจพบดีเอ็นเอเพศชายได้ 1 จาก 3 ตัวอย่าง โดยสาเหตุที่ผลการตรวจดีเอ็นเอเพศชายที่เวลา 30 นาที และ 45 นาที แตกต่างกันเนื่องจากความเข้มข้นของดีเอ็นเอในการตรวจสอบน้อยมากส่งผลให้ในการดูดีเอ็นเอมาใช้ในบางตัวอย่างอาจไม่มีดีเอ็นเอเพศชายถูกดูดขึ้นมาทำให้ไม่สามารถตรวจพบดีเอ็นเอเพศชายได้ แสดงให้เห็นว่าความไวในการตรวจสอบด้วยเทคนิค LAMP สามารถตรวจสอบดีเอ็นเอในช่วงความเข้มข้น 0.01-0.1 นาโนกรัม โดยจากการศึกษาของ Scott และคณะ (Scott et al., 2019) ได้ผลความไวของเทคนิค LAMP ที่ 0.4 นาโนกรัม แสดงให้เห็นว่าชุดไพรเมอร์ที่ออกแบบเพื่อใช้ในงานวิจัยนี้มีความไวมากกว่าชุดไพรเมอร์ของ Scott และคณะ แต่อย่างไรก็ตามความแตกต่างของความไวที่เกิดขึ้นนี้อาจเป็นผลมาจากอุปกรณ์ที่ใช้ในการทดลองหรือสารเคมีที่ใช้ซึ่งมีแหล่งที่มาต่างกันทำให้ประสิทธิภาพในการทำปฏิกิริยาไม่เท่ากัน

5.1.2 ความจำเพาะของเทคนิค LAMP

การทดสอบความจำเพาะในการตรวจสอบดีเอ็นเอด้วยเทคนิค LAMP จากการนำตัวอย่างดีเอ็นเอหนูเม้าส์ (*Mus musculus* สายพันธุ์ ICR Swiss mice) ดีเอ็นเอหนูแรท (*Rattus norvegicus*) ดีเอ็นเอหมู (*Sus scrofa domestica*) ดีเอ็นเอมนุษย์เพศชาย และดีเอ็นเอมนุษย์เพศหญิง ผลจากการทดลองแสดงให้เห็นว่าเทคนิค LAMP มีความจำเพาะสูงต่อดีเอ็นเอเป้าหมายให้ผลบวกในกรณีที่ตรวจสอบกับดีเอ็นเอของมนุษย์เพศชายเท่านั้น โดยในดีเอ็นเอมนุษย์เพศหญิงและดีเอ็นเอสัตว์ให้ผลลบทั้งหมด ซึ่งจากการศึกษาการใช้ชุดน้ำยาตรวจสอบเอนไซม์แอสิดฟอสฟาเตส พบว่าการตรวจสอบด้วยวิธีนี้มีความจำเพาะต่ำ โดยสามารถให้ผลบวกได้ในกรณีที่ตรวจสอบน้ำลายหรือน้ำซับช่องคลอดเพศหญิง (Gonçalves et al., 2017) ซึ่งสามารถให้ผลบวกเทียมได้

เมื่อเปรียบเทียบระหว่างการตรวจสอบด้วยเทคนิค LAMP และการใช้ชุดน้ำยาแอสิดฟอสฟาเตสแสดงให้เห็นว่าเทคนิค LAMP มีโอกาสให้ผลที่ถูกต้องมากกว่า แต่อย่างไรก็ตามยีนอเมโลจีนินวายยังสามารถพบได้ในลิงซึ่งเป็นสัตว์ที่มีดีเอ็นเอใกล้เคียงกับมนุษย์ ซึ่งดีเอ็นเอของลิงมีข้อจำกัดในการนำมาทดลองทำให้ยังไม่ได้มีการศึกษาความจำเพาะของชุดไพรเมอร์กับตัวอย่างดีเอ็นเอของลิง ดังนั้นผู้วิจัยจึงนำชุดไพรเมอร์ไปตรวจสอบความคล้ายคลึงของดีเอ็นเอบริเวณยีนอเมโลจีนินวายของลิง พบว่ามีไพรเมอร์บางตัวสามารถจับกับดีเอ็นเอของลิงได้

5.1.3 การทดสอบแบบอำพราง

เพื่อยืนยันความถูกต้องในการนำเทคนิค LAMP ไปใช้ในการตรวจสอบตัวอย่างจริงและอาจมีดีเอ็นเอของมนุษย์เพศชายและหญิงผสมรวมกันในตัวอย่าง จึงได้ทำการทดสอบแบบอำพราง โดยทำการผสมตัวอย่างของเหลวจากร่างกายมนุษย์ซึ่งเก็บมาจากอาสาสมัครเพศชาย 2 คน และเพศหญิง 1 คน จากนั้นนำตัวอย่างของเหลวมาผสมกันในอัตราส่วนโดยปริมาตรของเหลวซึ่งไม่ทราบความเข้มข้นของดีเอ็นเอในแต่ละตัวอย่าง ผลการทดสอบแสดงให้เห็นว่านักวิจัยสามารถตรวจสอบการมีอยู่ของดีเอ็นเอเพศชายได้อย่างถูกต้องทั้ง 10 ตัวอย่าง โดยจากการศึกษาของ Jackson และคณะ (Jackson et al., 2020) ได้มีการทำการทดสอบแบบอำพราง ในการระบุว่าในแต่ละตัวอย่างมีของเหลวจากร่างกายชนิดใดผสมกัน โดยของเหลวจากร่างกายที่ใช้ในการทดสอบประกอบด้วย เลือด น้ำลาย น้ำอสุจิ และน้ำซับช่องคลอด ซึ่งผลการทดลองแสดงให้เห็นว่าผู้วิจัยสามารถระบุส่วนผสมของเหลวจากร่างกายที่ผสมกันถูกต้องทุกตัวอย่าง ซึ่งผลการทดสอบนี้สอดคล้องกับผลการวิจัยของการทดลองนี้ แสดงให้เห็นถึงความแม่นยำของเทคนิค LAMP ในการตรวจสอบ

5.1.4 เปรียบเทียบผลของเทคนิค LAMP กับการวิเคราะห์ Y-STR

การทดสอบการปรากฏของสารพันธุกรรมในตำแหน่งอเมโลจีนินวายจากตัวอย่างน้ำซับช่องคลอดด้วยเทคนิค LAMP โดยใช้เทคนิค Y-STR ในการตรวจสอบความถูกต้อง ผลจากการทดลองแสดงให้เห็นว่าเทคนิค LAMP ให้ผลผลตรงกับการตรวจสอบด้วยเทคนิค Y-STR จำนวน 89 ตัวอย่าง จากทั้งหมด 92 ตัวอย่าง ซึ่ง 3 ตัวอย่างที่ผลการตรวจสอบด้วยเทคนิค LAMP มีความแตกต่างจากการตรวจสอบด้วยการวิเคราะห์ Y-STR แสดงผลการตรวจสอบดังตารางที่ 14 สำหรับตัวอย่าง DR076 พบ 25 ตำแหน่งของ Y-STR (full profile) แต่ผลจากเทคนิค LAMP รวมทั้งวิธีแอสิดฟอสฟาเตส และการส่องกล้องจุลทรรศน์ให้ผลลบทั้งหมด อาจเกิดจากการวิเคราะห์ Y-STR มีความไวที่สูง

กว่าเทคนิคอื่น ซึ่งสามารถตรวจพบดีเอ็นเอได้ตั้งแต่ 0.031 นาโนกรัมขึ้นไป (Watahiki et al., 2018) แต่จากการวัดความเข้มข้นดีเอ็นเอในตัวอย่างเป็นภาพรวมของปริมาณดีเอ็นเอของทั้งเพศหญิงและชายเท่ากับ 0.17 นาโนกรัม จึงอาจเป็นไปได้ว่าตัวอย่างนี้มีสัดส่วนดีเอ็นเอเพศชายน้อยกว่า 0.1 นาโนกรัม ซึ่งต่ำกว่าขีดความไวของเทคนิค LAMP ที่สามารถตรวจพบ สำหรับตัวอย่าง DR102 และ DR103 การทดสอบด้วยชุดน้ำยาแอสิดฟอสฟาเตสให้ผลบวก แต่การส่องกล้องจุลทรรศน์ และเทคนิค LAMP ให้ผลลบ อาจเกิดจากตัวอย่างมีเอนไซม์แอสิดฟอสฟาเตสสูง และหลังจากการสกัดดีเอ็นเอ ตัวอย่างที่ได้มีความเข้มข้นของดีเอ็นเอเพศชายในปริมาณน้อย หรือตัวอย่างอาจเริ่มเสื่อมสภาพ (degrade) โดยเทียบได้จากการวิเคราะห์ Y-STR รายงานได้เป็นบางตำแหน่ง (partial profile) ซึ่งเทคนิค LAMP ไม่มีความไวพอในการตรวจพบ

ตารางที่ 14 ผลการตรวจสอบด้วยเทคนิค LAMP ที่มีความแตกต่างจากการวิเคราะห์ Y-STR

รหัส ตัวอย่าง	ความเข้มข้น ดีเอ็นเอ (ng/ul)	การทดสอบ แอสิดฟอสฟาเตส	การส่องกล้อง จุลทรรศน์	ผล LAMP	จำนวนตำแหน่งที่ พบ Y-STR
DR076	0.17	-	-	-	25/25
DR102	0.3	+	-	-	8/25
DR103	0.3	+	-	-	2/25

5.1.5 สารสีฟีนอลเรด

จากการทดลองใช้สารสีฟีนอลเรดในการติดตามการเกิดปฏิกิริยาของเทคนิค LAMP พบว่าผลในการติดตามการเกิดปฏิกิริยาสอดคล้องกับการนำตัวอย่างมาตรวจสอบโดยเครื่อง QIAxcel ซึ่งแสดงให้เห็นถึงความถูกต้องของการใช้สารสีในการติดตามผลด้วยตาเปล่า ดังนั้นในการติดตามผลของเทคนิค LAMP ในการนำไปใช้ในการปฏิบัติงานจริงสามารถตรวจสอบผลด้วยสารสีฟีนอลเรดได้ด้วยตาเปล่าโดยไม่ต้องยืนยันผลด้วยเจลอิเล็กโตรโฟรีซิส นอกจากนี้ผลจากสารสีฟีนอลเรดสามารถเก็บรักษาไว้ในตู้เย็นที่อุณหภูมิ 4 องศาเซลเซียส ได้เป็นเวลานานมากกว่า 2 เดือน โดยผลไม่มีการเปลี่ยนแปลงระหว่างเก็บรักษา

5.1.6 กรณีศึกษา

ผู้เสียหายรายหนึ่ง อายุ 14 ปี ถูกข่มขืนกระทำชำเราวันที่ 6 พ.ย. 2564 เวลา 24.00 น. มาพบแพทย์เก็บตัวอย่างวันที่ 7 พ.ย. 2564 เวลา 18.00 น. จากนั้นเจ้าที่ได้ทำการตรวจเอนไซม์แอสิด

ฟอสฟาเตสและการส่องกล้องจุลทรรศน์ในวันที่ 15 พ.ย. 2564 ซึ่งในกรณีนี้แพทย์ได้ทำการเก็บตัวอย่างมากกว่า 1 บริเวณ และผลจากการตรวจสอบด้วยวิธีแอสซิดฟอสฟาเตส การส่องกล้องจุลทรรศน์ เทคนิค LAMP และการวิเคราะห์ Y-STR ดังตารางที่ 15 พบว่าผลการวิเคราะห์ Y-STR แสดงผลชัดเจนในตัวอย่างจากบริเวณทวารหนักในตัวอย่างที่ 7 และ 8 โดยผลการตรวจสอบด้วยวิธีแอสซิดฟอสฟาเตสและการส่องกล้องจุลทรรศน์ให้ผลเป็นลบ ในขณะที่การตรวจสอบด้วยเทคนิค LAMP ให้ผลบวกสอดคล้องกับการวิเคราะห์ Y-STR แสดงให้เห็นว่าเทคนิค LAMP สามารถใช้ในการตรวจสอบในตัวอย่างนี้ได้

ในกรณีที่เทคนิค LAMP ให้ผลลบในตัวอย่างรอบทวารหนัก ปากมดลูก และภายในช่องคลอด ในตัวอย่างที่ 1, 2, 4 และ 6 จะเห็นว่าผลจากการวิเคราะห์ Y-STR มีตำแหน่งที่ตรวจพบน้อย เกิดจากการที่ปริมาณดีเอ็นเอมนุษย์เพศชายที่ได้จากการเก็บตัวอย่างในบริเวณเหล่านั้นมีปริมาณน้อย โดยจากการวัดความเข้มข้นดีเอ็นเอในตัวอย่างเป็นภาพรวมของปริมาณดีเอ็นเอของทั้งเพศหญิงและชาย ซึ่งได้ความเข้มข้นน้อยกว่า 1 นาโนกรัม/ไมโครลิตร ส่งผลให้การตรวจสอบด้วยเทคนิค LAMP ไม่สามารถตรวจพบได้ ซึ่งในทางปฏิบัติสำหรับการวิเคราะห์ Y-STR การที่มีตำแหน่งปรากฏขึ้นในจำนวนน้อยส่งผลให้ไม่สามารถใช้ผลในการระบุตัวบุคคลได้

ตารางที่ 15 ผลการตรวจหาดีเอ็นเอเพศชายจากผู้เสียหาย

ตัวอย่าง	บริเวณ	ความเข้มข้นดีเอ็นเอ (ng/ul)	การทดสอบแอสซิดฟอสฟาเตส	การส่องกล้องจุลทรรศน์	ผล LAMP	การวิเคราะห์ Y-STR		
						ผล	ตำแหน่ง	ตำแหน่ง (%)
1	รอบทวารหนัก 1	0.62	-	-	-	+	4/25	16
2	รอบทวารหนัก 2	0.64	-	-	-	+	7/25	28
3	ปากมดลูก 1	1.17	+	-	+	+	4/25	16
4	ปากมดลูก 2	0.96	+	-	-	+	3/25	12

5	ภายใน ช่องคลอด 1	2.22	-	-	+	+	8/25	32
6	ภายใน ช่องคลอด 2	0.54	-	-	-	+	1/25	4
7	ทวารหนัก 1	1.05	-	-	+	+	25/25	100
8	ทวารหนัก 2	1.55	-	-	+	+	16/25	64

5.2 สรุปผลการวิจัย

จากผลการทดลองพบว่าเทคนิค LAMP มีประสิทธิภาพในการตรวจสอบเบื้องต้นสำหรับการตรวจหาดีเอ็นเอเพศชายจากตัวอย่างน้ำซึบช่องคลอดสูง โดยสามารถตรวจพบดีเอ็นเอเพศชายได้ที่ความเข้มข้น 0.1 นาโนกรัมขึ้นไป รวมทั้งมีความจำเพาะต่อตัวอย่างดีเอ็นเอมนุษย์เพศชายซึ่งเป็นเป้าหมายในการตรวจสอบสูง จากการทดลองนำเทคนิค LAMP ใช้ในการตรวจหาดีเอ็นเอเพศชายจากตัวอย่างน้ำซึบช่องคลอดจากผู้เสียหายในคดีข่มขืนกระทำชำเราแสดงให้เห็นว่าเทคนิค LAMP มีความแม่นยำสูง โดยให้ผลที่ถูกต้อง 96.7% ซึ่งมีความแม่นยำกว่าการตรวจสอบด้วยชุดน้ำยาแอสซิโดฟอสฟาเตสในปัจจุบัน อีกทั้งยังสามารถใช้สารสีในการติดตามผลการเกิดปฏิกิริยาได้ ดังนั้นเทคนิค LAMP จึงสามารถใช้เป็นทางเลือกในการตรวจสอบเบื้องต้นในการตรวจหาดีเอ็นเอเพศชายในคดีข่มขืนกระทำชำเราได้

5.3 ข้อเสนอแนะ

- การตรวจสอบด้วยเทคนิค LAMP ใช้เวลาประมาณ 30-60 นาที แต่ต้องผ่านขั้นตอนการสกัดดีเอ็นเอ ซึ่งในงานวิจัยนี้ใช้เวลาประมาณ 3 ชั่วโมง จึงควรหาวิธีการสกัดดีเอ็นเอที่ใช้เวลาน้อยกว่านี้ แต่อย่างไรก็ตามทั้งขั้นตอนการสกัดดีเอ็นเอ และเทคนิค LAMP สามารถทำหลายตัวอย่างพร้อมกันได้

- การติดตามการเกิดปฏิกิริยาของเทคนิค LAMP ในงานวิจัยนี้ใช้สารสีฟีนอลเรดในการดูผลด้วยตาเปล่า แต่ยังมีสารสีอื่นๆ เช่น สารสี Hydroxynaphthol blue (HNB) ที่นิยมใช้ในต่างประเทศ แต่ยังไม่มีการนำมาใช้ในงานวิจัยนี้
- ทดสอบความจำเพาะกับดีเอ็นเอของลิง เนื่องจากมีบางไพรเมอร์สามารถจับกับดีเอ็นเอบริเวณยีนอเมโลจินนวยของลิงได้
- เทคนิค LAMP สามารถเกิดการปนเปื้อนได้ง่าย จึงควรผสมสารเคมีที่ใช้ในการทำปฏิกิริยาในตู้ที่เฉพาะ และใช้อุปกรณ์สำหรับทำปฏิกิริยา LAMP เท่านั้น





จุฬาลงกรณ์มหาวิทยาลัย
CHULALONGKORN UNIVERSITY

บรรณานุกรม

- Butler, E., and Li, R. (2014). Genetic Markers for Sex Identification in Forensic DNA Analysis. *Journal of Forensic Investigation* 2, 1-10.
- Frances, F., Portoles, O., Gonzalez, J. I., Coltell, O., Verdu, F., Castello, A., and Corella, D. (2007). Amelogenin test: From forensics to quality control in clinical and biochemical genomics. *Clin Chim Acta*, 386(1-2), 53-56.
- Gonçalves, A. B. R., de Oliveira, C. F., Carvalho, E. F., and Silva, D. A. (2017). Comparison of the sensitivity and specificity of colorimetric and immunochromatographic presumptive methods for forensic semen detection. *Forensic Science International: Genetics Supplement Series*, 6, e481-e483. doi:10.1016/j.fsigss.2017.09.189
- Goto, M., Honda, E., Ogura, A., Nomoto, A., and Hanaki, K. (2009). Colorimetric detection of loop-mediated isothermal amplification reaction by using hydroxy naphthol blue. *Biotechniques*, 46(3), 167-172.
- Jackson, K. R., Layne, T., Dent, D. A., Tsuei, A., Li, J., Haverstick, D. M., and Landers, J. P. (2020). A novel loop-mediated isothermal amplification method for identification of four body fluids with smartphone detection. *Forensic Science International: Genetics*, 45, 102195.
- Kayser, M. (2017). Forensic use of Y-chromosome DNA: a general overview. *Hum Genet*, 136(5), 621-635. doi:10.1007/s00439-017-1776-9
- Lewis, J., Baird, A., McAlister, C., Siemieniuk, A., Blackmore, L., McCabe, B., O'Rourke, P., Parekh, R., Watson, E., Wheelhouse, M., et al. (2013). Improved detection of semen by use of direct acid phosphatase testing. *Science and Justice* 53(4), 385-394.
- Martinez, P., Santiago, B., Alcalá, B., and Atienza, I. (2015). Semen searching when sperm is absent. *Science and Justice* 55(2), 118-123.
- Nagamine, K., Hase, T., and Notomi, T. (2002). Accelerated reaction by loop-mediated isothermal amplification using loop primers. *Mol Cell Probes*, 16(3), 223-229.
- Nakahori, Y., Takenaka, O., and Nakagome, Y. (1991). A human X-Y homologous region

- encodes "Amelogenin". *Genomics*, 9, 264-269.
- Nogami, H., Tsutsumi, H., Komuro, T., and Mukoyama, R. (2008). Rapid and simple sex determination method from dental pulp by loop-mediated isothermal amplification. *Forensic Science International: Genetics*, 2(4), 349-353.
- Notomi, T., Okayama, H., Masubuchi, H., Yonekawa, T., Watanabe, K., Amino, N., and Hase, T. (2000). Loop-mediated isothermal amplification of DNA. *Nucleic Acids Research* 28, 1-7.
- Peonim, V., Worasuwanarak, W., Sujirachato, K., Teerakamchai, S., Srisont, S., Udnoon, J., and Chudoung, U. (2013). Comparison between prostate specific antigen and acid phosphatase for detection of semen in vaginal swabs from raped women. *Journal of Forensic and Legal Medicine* 20(6), 578-581.
- Riman, S., Shek, C. H., Beaudoin, V. C., Peck, M., Benjamin, J., Ayoub, C., Prugh, L., and Podini, D. (2015). Confirmatory detection of sperm and semen Via proximity ligation real-time PCR. *Forensic Science International: Genetics Supplement Series*, 5, e109-e111. doi:10.1016/j.fsigss.2015.09.044
- Roewer, L. (2019). Y-chromosome short tandem repeats in forensics—Sexing, profiling, and matching male DNA. *WIREs Forensic Science*, 1(4).
- Scott, A., Jackson, K., Carter, M., Comeau, R., Layne, T., and Landers, J. (2019). Rapid sperm lysis and novel screening approach for human male DNA via colorimetric loop-mediated isothermal amplification. *Forensic Science International: Genetics*, 43, 102139.
- Thompson, J. M., Ewing, M. M., Frank, W. E., Pogemiller, J. J., Nolde, C. A., Koehler, D. J., Shaffer, A. M., Rabbach, D. R., Fulmer, P. M., Sprecher, C. J., et al. (2013). Developmental validation of the PowerPlex(R) Y23 System: a single multiplex Y-STR analysis system for casework and database samples. *Forensic Science International: Genetics*, 7(2), 240-250.
- Tomita, N., Mori, Y., Kanda, H., and Notomi, T. (2008). Loop-mediated isothermal amplification (LAMP) of gene sequences and simple visual detection of products. *Nat Protoc*, 3(5), 877-882.

Watahiki, H., Fujii, K., Fukagawa, T., Mita, Y., Kitayama, T., Nakahara, H., Mizuno, N., and Sekiguchi, K. (2018). Validation of the Yfiler Plus PCR Amplification Kit for forensic purposes. *Japanese Journal of Forensic Science and Technology*, 23(1), 13-34. doi:10.3408/jafst.730

Yang, D., Li, Z., Diwu, Y. A., Fu, H., Liao, J., Wei, C., and Diwu, Z. (2008). A novel fluorogenic coumarin substrate for monitoring acid phosphatase activity at low pH environment. *Current Chemical Genomics* 2, 48-50.

เสียงชัย จตุรัส, วิรุจน์ คุณกิตติ, and แจ่มสุวรรณ, อ. (2554, 4-6 ตุลาคม 2554). คดีฆ่มขึ้นในภาคตะวันออกเฉียงเหนือ. Paper presented at the การประชุมวิชาการประจำปี ครั้งที่ 27.

ธีระชัย วชิราภิโรจน์, ธาณินทร์ ภูพัฒน์, and ภูพัฒน์, เ. (2556). การตรวจหาอเมโลจินในตัวอย่างน้ำซึบช่องคลอดในคดีความผิดทางเพศโดยวิธีลูปมีดิเอเตดไอโซเทอร์มอลแอมพลิฟิเคชัน. *วารสารนิติเวชศาสตร์* 5.

ฤกษ์อำนาจโชค, บ. (2561). วิทยาการก้าวหน้าด้านนิติพันธุศาสตร์. กรุงเทพมหานคร : คณะแพทยศาสตร์โรงพยาบาลรามาธิบดี.

สำนักงานกองทุนการสร้างเสริมสุขภาพ. (2561). สถิติ 'ความรุนแรงทางเพศ' ของไทยยังน่าห่วง. Retrieved 6 พฤศจิกายน 2563

สำนักงานตำรวจแห่งชาติ. (2564). สถิติฐานความผิดคดีอาญา (คดี 4 กลุ่ม) หน่วยงาน ทั่วประเทศ. กรุงเทพมหานคร : ระบบสารสนเทศสถานีตำรวจ สำนักงานตำรวจแห่งชาติ.

ภาคผนวก

ตารางที่ 16 ปริมาตรของสารในการทำปฏิกิริยา LAMP

ชนิดของสาร	ปริมาตร (ไมโครลิตร)
WarmStart Colorimetric LAMP 2X Master Mix	12.5
LAMP Primer Mix (10X)	2.5
Target DNA	1
dH ₂ O	9
ปริมาตรรวม	25

ตารางที่ 17 การเตรียมความเข้มข้น (10X) ของไพรเมอร์สำหรับทำปฏิกิริยา LAMP

ไพรเมอร์	ความเข้มข้น (10X)
FIP	16 μ M
BIP	16 μ M
F3	2 μ M
B3	2 μ M
Loop F	4 μ M
Loop B	4 μ M

ตารางที่ 18 ตารางการจรแบบ 2x2 ที่ใช้ในการคำนวณประสิทธิภาพของวิธีการทดลองที่ใช้ในการตรวจหาสิ่งที่เกี่ยวข้องกับเพศชาย

		การตรวจด้วยมาตรฐานสูงสุด		
		ผลบวก	ผลลบ	ผลรวม
ผลการตรวจด้วยวิธีที่สนใจ	ผลบวก	TP	FP	TP+FP
	ผลลบ	FN	TN	FN+TN
ผลรวม		TP+FN	FP+TN	N

- เมื่อ TP คือ ผลบวกจริง (true positive)
 FP คือ ผลบวกหลง (false positive)
 FN คือ ผลลบหลง (false negative)
 TN คือ ผลลบจริง (true negative)
 N คือ ผลรวมทั้งหมด

โดยการคำนวณค่าดัชนีต่างๆเป็นดังนี้

$$\text{Sensitivity} = \text{TP}/(\text{TP}+\text{FN}) \times 100$$

$$\text{Positive predictive value (PPV)} = \text{TP}/(\text{TP}+\text{FP}) \times 100$$

$$\text{Specificity} = \text{TN}/(\text{FP}+\text{TN}) \times 100$$

$$\text{Negative predictive value (NPV)} = \text{TN}/(\text{FN}+\text{TN}) \times 100$$

$$\text{Accuracy} = (\text{TP}+\text{TN})/\text{N} \times 100$$

ตารางที่ 19 ความเข้มข้นดีเอ็นเอจากตัวอย่างเยื่อบุกระพุงแก้มของอาสาสมัครทั้งเพศชาย และเพศหญิง

อาสาสมัครเพศชาย	ความเข้มข้นดีเอ็นเอ (ng/uL)	อาสาสมัครเพศหญิง	ความเข้มข้นดีเอ็นเอ (ng/uL)
MBC1	1.85	FBC1	0.83
MBC2	1.08	FBC2	1.30
MBC3	0.74	FBC3	0.38
MBC4	5.40	FBC4	0.38
MBC5	0.72	FBC5	0.25

ตารางที่ 20 ผลความเข้มข้นดีเอ็นเอ ผลแอดซิดฟอสฟาเตส (AP) ผลการส่องกล้องจุลทรรศน์ (ME) ผลเทคนิค LAMP และการวิเคราะห์ Y-STR ทั้ง 92 ตัวอย่าง

รหัสตัวอย่าง	เลขประจำตัว	ความเข้มข้นดีเอ็นเอ (ng/uL)	ผล AP	ผล ME	ผล LAMP	การวิเคราะห์ Y-STR		
						ผล	ตำแหน่ง	ตำแหน่ง (%)
R239-63	DR001	18	+	-	+	+	11/22	50
	DR002	1.35	+	-	+	+	25/25	100
	DR003	0.487	-	-	+	+	25/25	100

	DR004	17	+	-	+	+	19/25	76
R002-64	DR005	6	+	-	+	+	25/25	100
	DR006	0.6	-	-	+	+	16/25	64
R003-64	DR007	11	+	-	-	-		
	DR008	3.18	-	-	-	-		
R005-64	DR011	7.6	+	+	+	+	25/25	100
	DR012	23	+	+	+	+	22/22	100
	DR013	10	+	+	+	+	22/22	100
R006-64	DR014	31	+	-	-	-		
R007-64	DR015	32	+	-	-	-		
R008-64	DR016	42	+	-	-	-		
R025-64	DR017	1.45	+	-	-	-		
	DR018	0.2	+	-	-	-		
R029-64	DR019	3.05	+	-	-	-		
	DR020	1.48	+	-	-	-		
R030-64	DR021	0.5	+	-	-	-		
R031-64	DR022	3.15	+	-	-	-		
	DR023	10	+	-	-	-		
R035-64	DR024	65	+	-	-	-		
R044-64	DR025	65	+	-	+	+	25/25	100
R051-64	DR026	1.07	-	-	-	-		
	DR027	34	+	-	-	-		
	DR028	24	+	-	-	-		
R052-64	DR029	0.455	+	-	-	-		
	DR030	0.175	+	-	-	-		
R059-64	DR031	0.8	+	-	+	+	24/25	96
R061-64	DR033	7.8	+	+	+	+	5/22	22.73
R067-64	DR039	9.1	+	-	-	-		
	DR040	33	-	-	-	-		
	DR041	0.131	-	-	-	-		

R070-64	DR042	0.1	+	-	-	-		
	DR043	0.1	+	-	-	-		
R076-64	DR045	0.312	+	-	-	-		
R087-64	DR052	0.55	+	-	-	-		
R088-64	DR053	36	+	+	+	+	22/22	100
	DR054	2.75	+	-	+	+	22/22	100
R090-64	DR055	0.75	-	-	-	-		
R091-64	DR058	9.7	-	-	-	-		
	DR059	1.6	-	-	-	-		
	DR060	0.8	-	-	-	-		
	DR061	1.35	-	-	-	-		
R093-64	DR062	0.43	-	-	-	-		
R094-64	DR064	0.543	+	-	+	+	10/25	40
R097-64	DR065	0.224	+	+	+	+	22/22	100
R108-64	DR067	10	-	-	-	-		
R109-64	DR068	38	-	+	+	+	2/22	9.09
	DR069	7.6	+	+	+	+	22/22	100
R117-64	DR070	62	-	-	-	-		
	DR071	7	-	-	-	-		
R121-64	DR072	9.2	+	-	-	-		
	DR073	4.45	+	-	-	-		
R122-64	DR074	13	-	-	-	-		
	DR075	0.845	+	-	-	-		
R125-64	DR076	0.17	-	-	-	+	25/25	100
	DR077	1.45	+	-	+	+	24/25	96
R127-64	DR078	41	-	-	-	-		
R128-64	DR079	3.5	+	-	+	+	25/25	100
R129-64	DR080	12	+	-	-	-		
R130-64	DR081	0.24	+	-	-	-		
	DR082	2.7	-	-	-	-		

	DR083	1.28	+	-	-	-		
R132-64	DR084	0.64	-	-	-	-		
R136-64	DR085	20	-	-	-	-		
R139-64	DR086	1.55	+	-	+	+	25/25	100
	DR087	2.08	+	-	+	+	3/22	13.64
	DR088	5.2	+	-	+	+	2/22	9.09
	DR089	4.52	+	+	+	+	6/22	27.27
R140-64	DR090	2.33	-	-	-	-		
R145-64	DR091	12	-	-	-	-		
R148-64	DR092	2.52	+	+	+	+	Mix profile	100
R150-64	DR093	52	-	-	-	-		
	DR094	51	-	-	-	-		
R153-64	DR095	5.5	-	-	-	-		
R144-64	DR096	1.38	-	-	-	-		
R156-64	DR097	29	-	-	-	-		
R157-64	DR098	1.4	+	-	-	-		
	DR099	0.53	+	-	+	+	25/25	100
R170-64	DR100	1.39	+	+	+	+	25/25	100
	DR101	3	+	+	+	+	25/25	100
R177-64	DR102	0.3	+	-	-	+	8/25	32
R179-64	DR103	0.3	+	-	-	+	2/25	8
R181-64	DR105	38	-	+	+	+	25/25	100
R182-64	DR107	0.51	+	+	+	+	25/25	100
R184-64	DR108	0.15	+	-	-	-		
R202-64	DR113	1.4	+	-	-	-		
	DR114	0.87	+	-	-	-		
R203-64	DR115	1.15	+	-	-	-		
R207-64	DR116	0.13	-	+	+	+	22/25	88
	DR117	0.093	-	+	+	+	24/25	96

ตารางที่ 21 ความเข้มข้นดีเอ็นเอที่ใช้ในเทคนิค LAMP เทียบกับการวิเคราะห์ Y-STR

	เลขประจำตัว	ความเข้มข้น ดีเอ็นเอ (ng/ul)	ความเข้มข้นดีเอ็นเอใน เทคนิค LAMP			ความเข้มข้นดีเอ็นเอใน การวิเคราะห์ Y-STR	
			ครั้งที่ 1	ครั้งที่ 2	ครั้งที่ 3	ครั้งที่ 1	ครั้งที่ 2
1.	DR001	18	1 ul			1 ng	
2.	DR002	1.35	1 ul			2 ng	
3.	DR003	0.487	1 ul			0.97 ng	1.95 ng
4.	DR004	17	1 ul			2 ng	
5.	DR005	6	1 ul	5 ul		2 ng	
6.	DR006	0.6	1 ul	5 ul	10 ul	2.4 ng	
7.	DR007	11	1 ul			1 ng	
8.	DR008	3.18	1 ul			1 ng	
9.	DR011	7.6	1 ul			2 ng	
10.	DR012	23	1 ul			1 ng	
11.	DR013	10	1 ul			1 ng	
12.	DR014	31	1 ul			2 ng	
13.	DR015	32	1 ul			1 ng	
14.	DR016	42	1 ul			2 ng	
15.	DR017	1.45	1 ul			2 ng	
16.	DR018	0.2	1 ul			1 ng	
17.	DR019	3.05	1 ul			2 ng	
18.	DR020	1.48	1 ul			2 ng	
19.	DR021	0.5	1 ul			2 ng	
20.	DR022	3.15	1 ul			2 ng	
21.	DR023	10	1 ul			2 ng	
22.	DR024	65	1 ul			2 ng	
23.	DR025	65	1 ul			1 ng	65 ng
24.	DR026	1.07	1 ul			2 ng	
25.	DR027	34	1 ul			2 ng	
26.	DR028	24	1 ul			2 ng	

27.	DR029	0.455	2 ul			1.82 ng	
28.	DR030	0.175	2 ul			0.88 ng	
29.	DR031	0.8	2 ul	5 ul		1.6 ng	
30.	DR033	7.8	1 ul			1 ng	15.6 ng
31.	DR039	9.1	1 ul			2 ng	
32.	DR040	33	1 ul			1 ng	
33.	DR041	0.131	1 ul			0.66 ng	
34.	DR042	0.1	2 ul			0.5 ng	
35.	DR043	0.1	2 ul			0.5 ng	
36.	DR045	0.312	1 ul			1.56 ng	
37.	DR052	0.55	1 ul			2.2 ng	
38.	DR053	36	1 ul			1 ng	
39.	DR054	2.75	1 ul			1 ng	
40.	DR055	0.75	1 ul			2.25 ng	
41.	DR058	9.7	1 ul			1 ng	
42.	DR059	1.6	1 ul			2 ng	
43.	DR060	0.8	1 ul			1.6 ng	
44.	DR061	1.35	1 ul			2 ng	
45.	DR062	0.43	1 ul			1.72 ng	
46.	DR064	0.543	1 ul	5 ul	10 ul	2.17 ng	
47.	DR065	0.224	1 ul			1.12 ng	
48.	DR067	10	1 ul			2 ng	
49.	DR068	38	1 ul			1 ng	76 ng
50.	DR069	7.6	1 ul			1 ng	
51.	DR070	62	1 ul			2 ng	
52.	DR071	7	1 ul			2 ng	
53.	DR072	9.2	1 ul			2 ng	
54.	DR073	4.45	1 ul			2 ng	
55.	DR074	13	1 ul			2 ng	
56.	DR075	0.845	1 ul			1.69 ng	

57.	DR076	0.17	1 ul	5 ul	10 ul	0.85 ng	
58.	DR077	1.45	1 ul			2 ng	
59.	DR078	41	1 ul			2 ng	
60.	DR079	3.5	1 ul			2 ng	
61.	DR080	12	1 ul			2 ng	
62.	DR081	0.24	1 ul			1.2 ng	
63.	DR082	2.7	1 ul			1 ng	
64.	DR083	1.28	1 ul			2.56 ng	
65.	DR084	0.64	1 ul			2.56 ng	
66.	DR085	20	1 ul			2 ng	
67.	DR086	1.55	1 ul			2 ng	
68.	DR087	2.08	1 ul			1 ng	4.16 ng
69.	DR088	5.2	1 ul			1 ng	10.4 ng
70.	DR089	4.52	1 ul			1 ng	9.04 ng
71.	DR090	2.33	1 ul			2 ng	
72.	DR091	12	1 ul			2 ng	
73.	DR092	2.52	1 ul			2 ng	
74.	DR093	52	1 ul			2 ng	
75.	DR094	51	1 ul			2 ng	
76.	DR095	5.5	1 ul			2 ng	
77.	DR096	1.38	1 ul			2 ng	
78.	DR097	29	1 ul			2 ng	
79.	DR098	1.4	1 ul			2 ng	
80.	DR099	0.53	1 ul			2.12 ng	
81.	DR100	1.39	1 ul			2 ng	
82.	DR101	3	1 ul			2 ng	
83.	DR102	0.3	2 ul	5 ul	10 ul	1.5 ng	
84.	DR103	0.3	2 ul	5 ul	10 ul	1.5 ng	
85.	DR105	38	1 ul	5 ul		2 ng	190 ng
86.	DR107	0.51	1 ul			2.04 ng	

87.	DR108	0.15	2 ul			0.75 ng	
88.	DR113	1.4	1 ul			2 ng	
89.	DR114	0.87	1 ul			1.74 ng	
90.	DR115	1.15	1 ul			2.3 ng	
91.	DR116	0.13	5 ul			0.65 ng	
92.	DR117	0.093	5 ul			0.47 ng	





จุฬาลงกรณ์มหาวิทยาลัย
CHULALONGKORN UNIVERSITY



จุฬาลงกรณ์มหาวิทยาลัย
CHULALONGKORN UNIVERSITY

ประวัติผู้เขียน

ชื่อ-สกุล	สุนิตา ชุณหะกุล
วัน เดือน ปี เกิด	5 กรกฎาคม 2540
สถานที่เกิด	จังหวัดฉะเชิงเทรา
วุฒิการศึกษา	วท.บ. สาขาวิชาพันธุศาสตร์ จุฬาลงกรณ์มหาวิทยาลัย
ที่อยู่ปัจจุบัน	660/133 ไร่ดีไอ คิว จุฬา-สามย่าน ถ.พระรามที่ 4 แขวงมหาพฤฒาราม เขตบางรัก กรุงเทพมหานคร 10500
ผลงานตีพิมพ์	ตีพิมพ์ในเอกสารรายงานสืบเนื่องจากการประชุมวิชาการระดับชาตินนที่ อีสาน ครั้งที่ 9 (ออนไลน์) มหาวิทยาลัยเกษตรศาสตร์ วิทยาเขตเฉลิมพระ เกียรติ จังหวัดสกลนคร



จุฬาลงกรณ์มหาวิทยาลัย
CHULALONGKORN UNIVERSITY